

図 11-2-23(1) マイズ地区 B-7 異常帯見掛充電率擬似断面図(T-1)

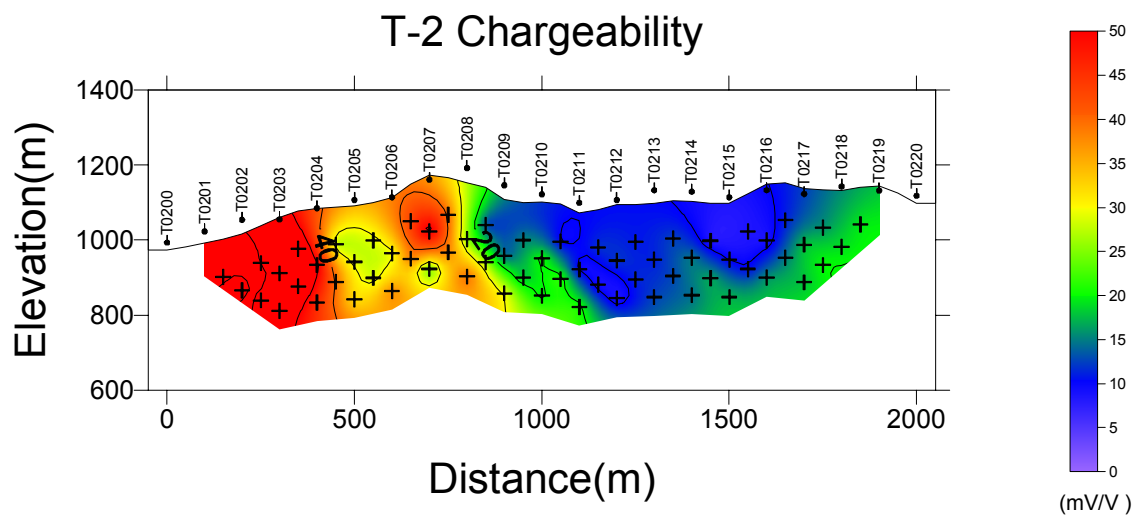
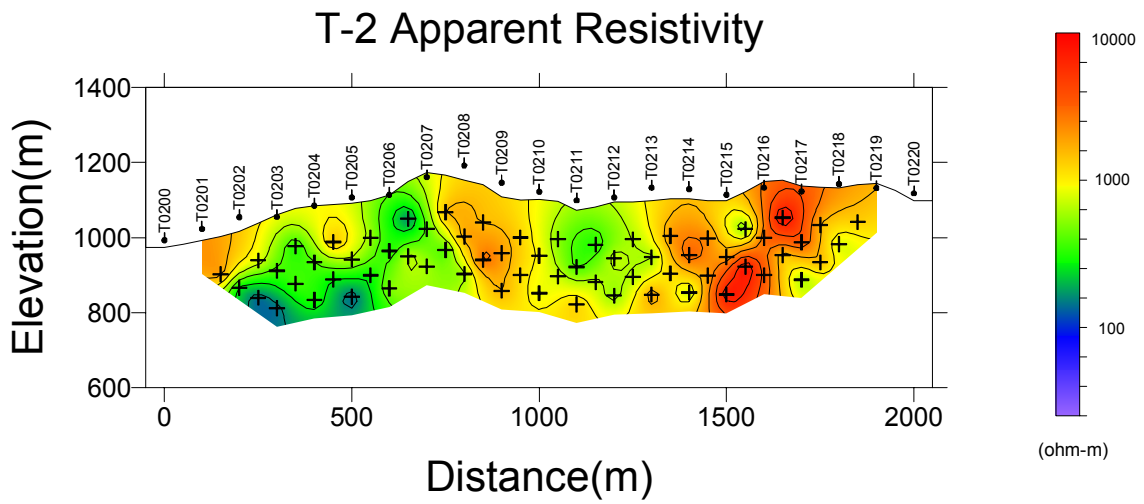


図 11-2-23(2) マイズ地区 B-7 異常帯見掛充電率擬似断面図(T-2)

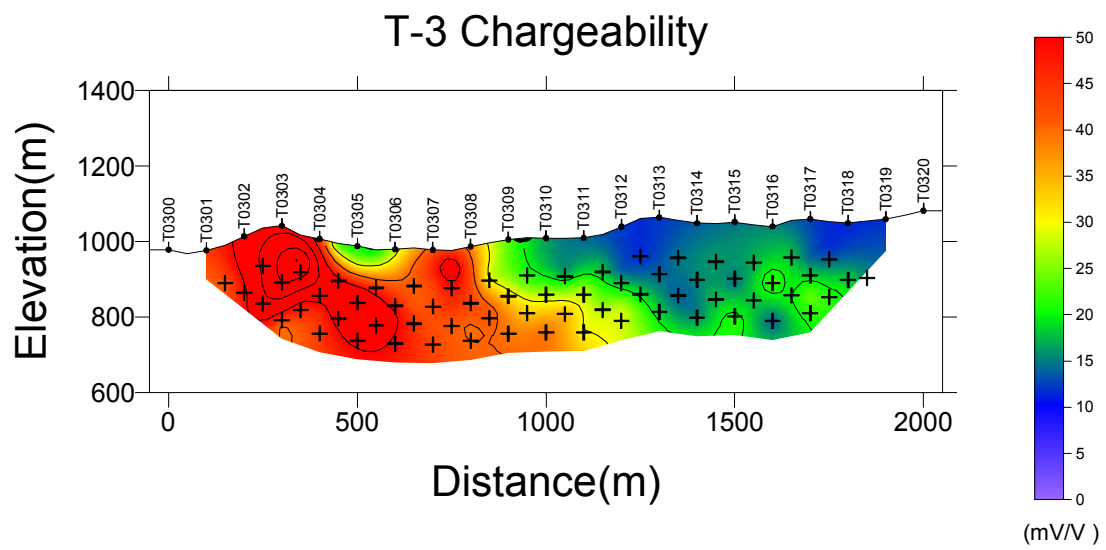
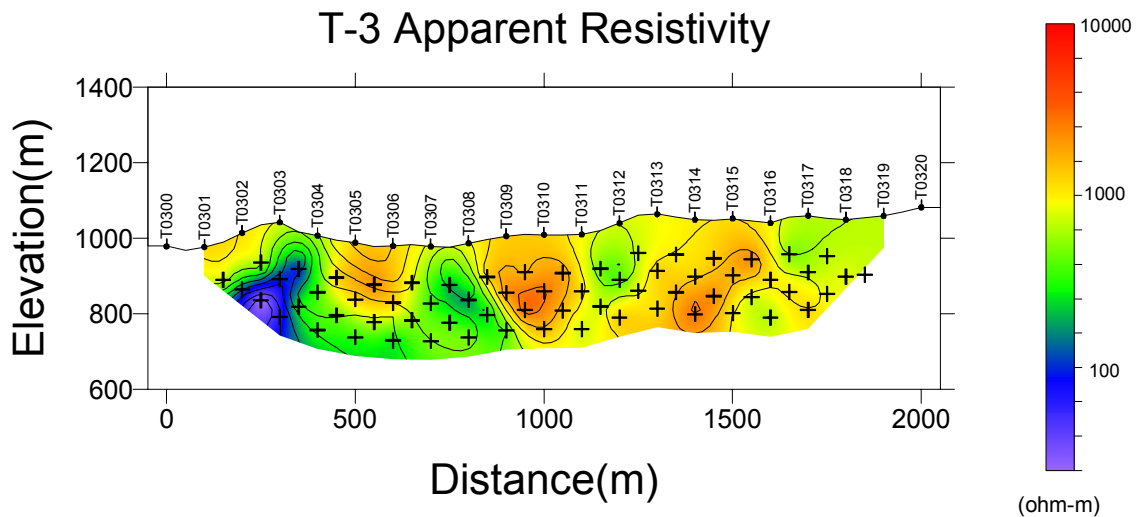


図 11-2-23(3) マイズ地区 B-7 異常帯見掛充電率擬似断面図(T-3)

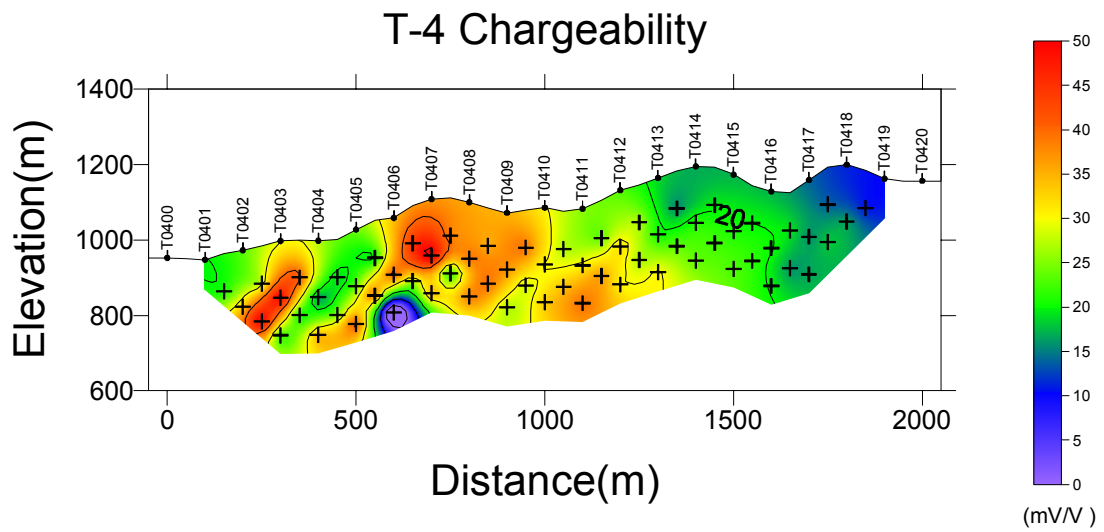
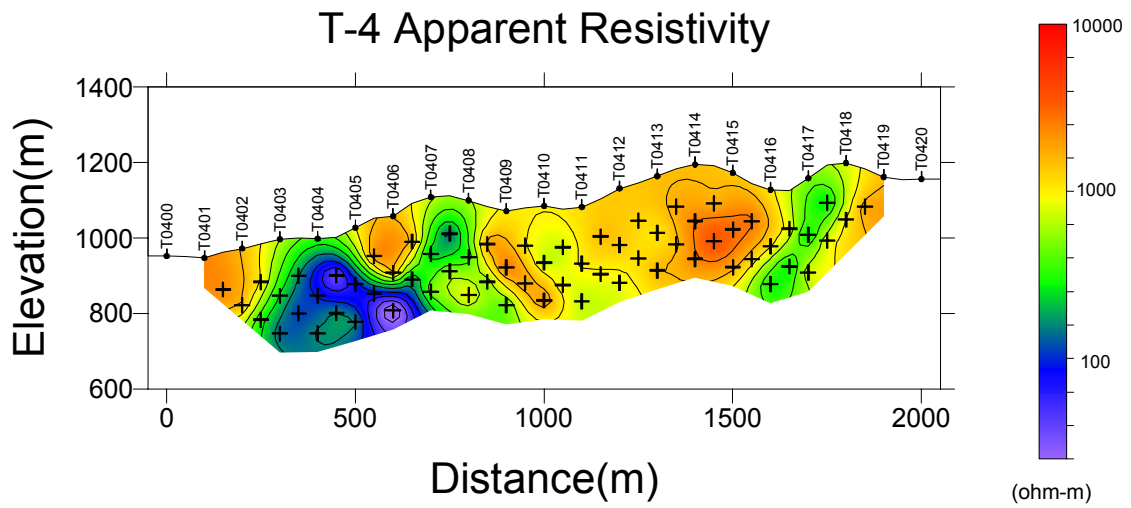


図 11-2-23(4) マイズ地区 B-7 異常帯見掛充電率擬似断面図(T-4)

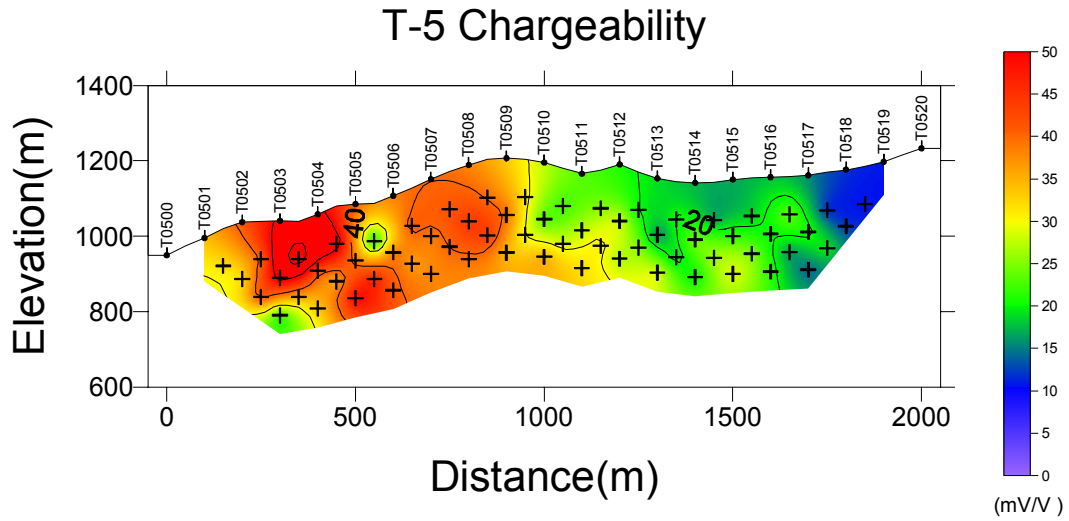
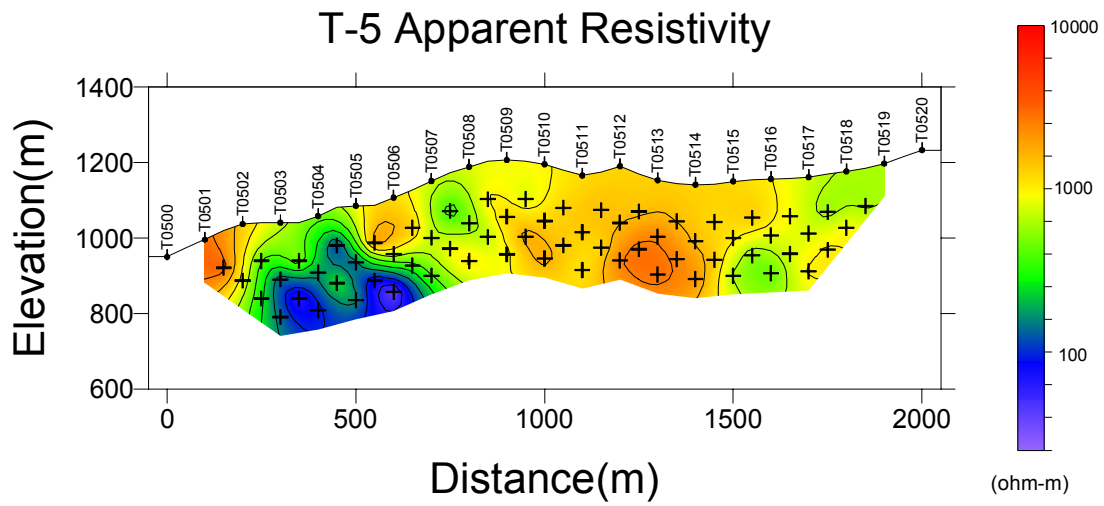


図 11-2-23(5) マイズ地区 B-7 異常帯見掛充電率擬似断面図(T-5)

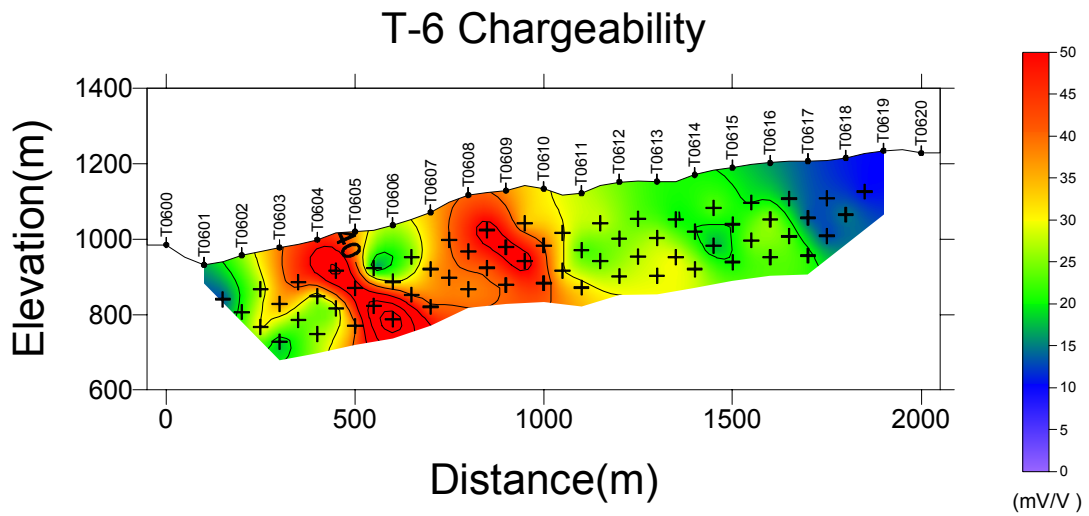
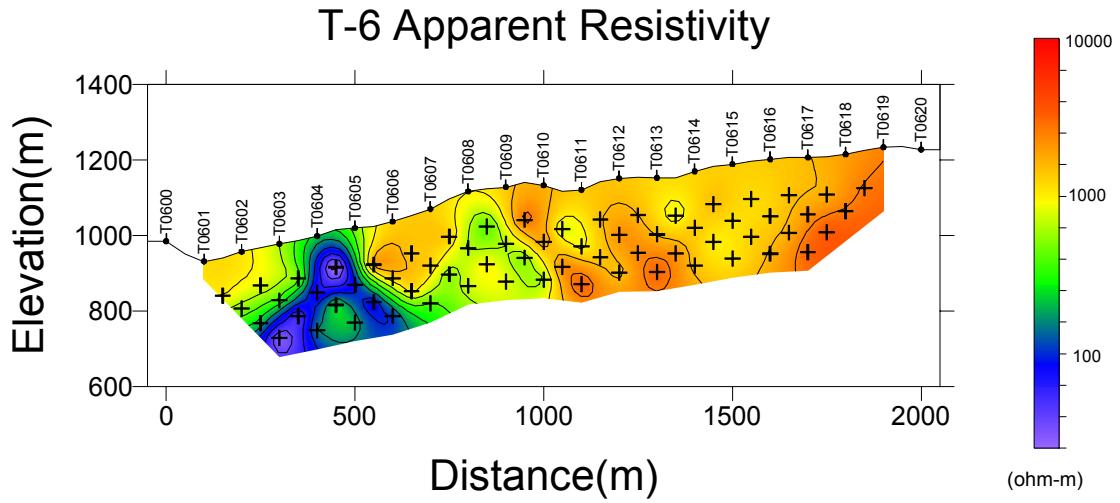


図 11-2-23(6) マイズ地区 B-7 異常帯見掛充電率擬似断面図(T-6)

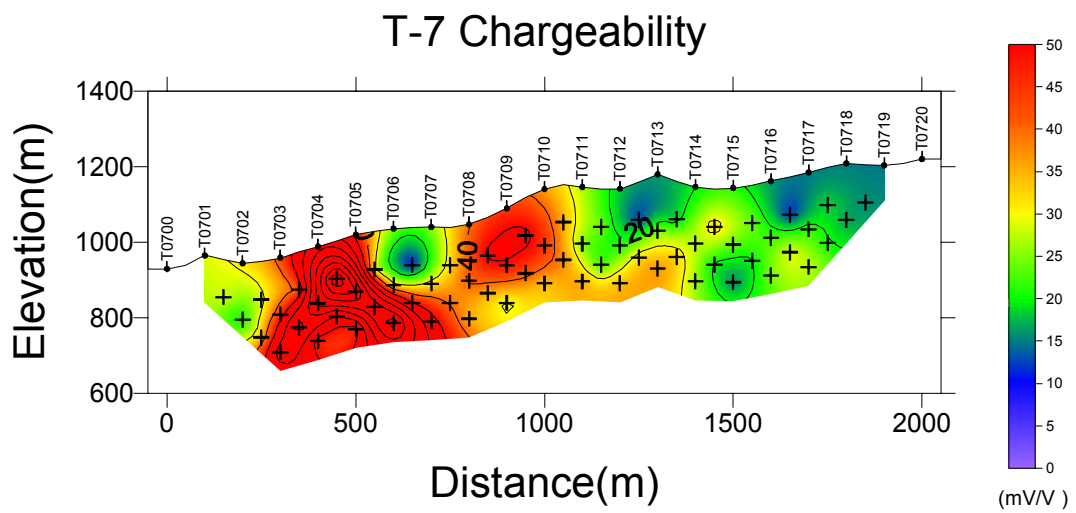
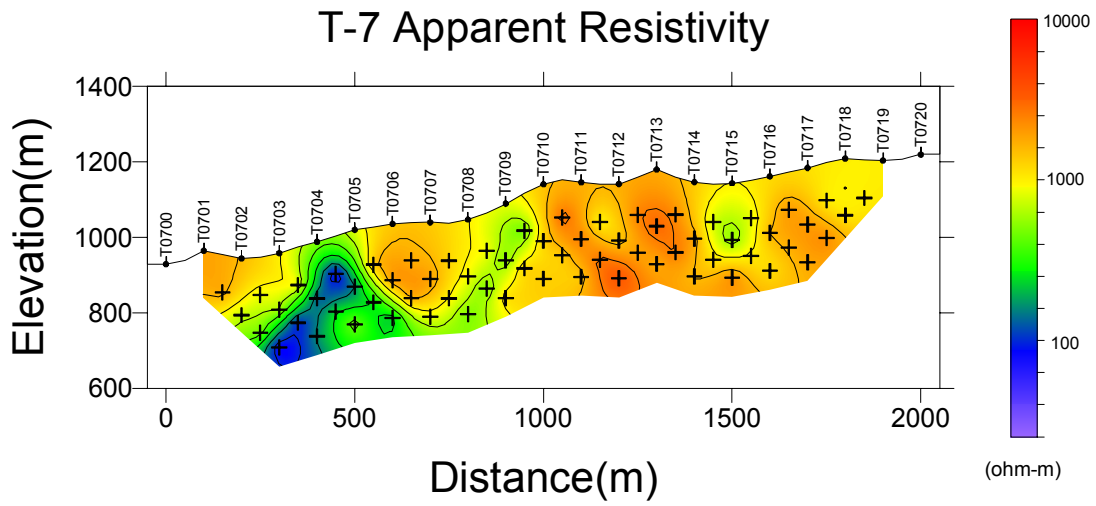


図 11-2-23(7) マイズ地区 B-7 異常帯見掛充電率擬似断面図(T-7)

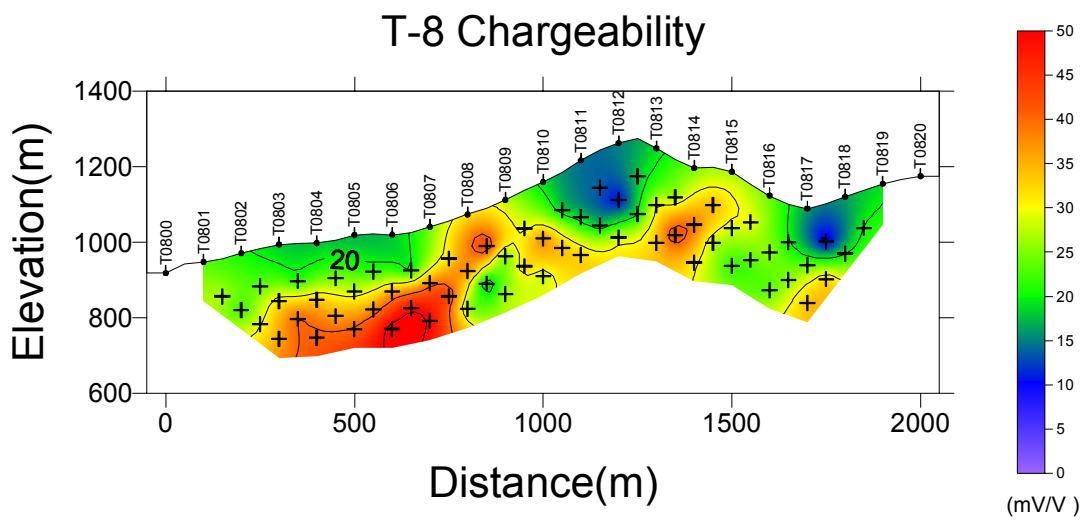
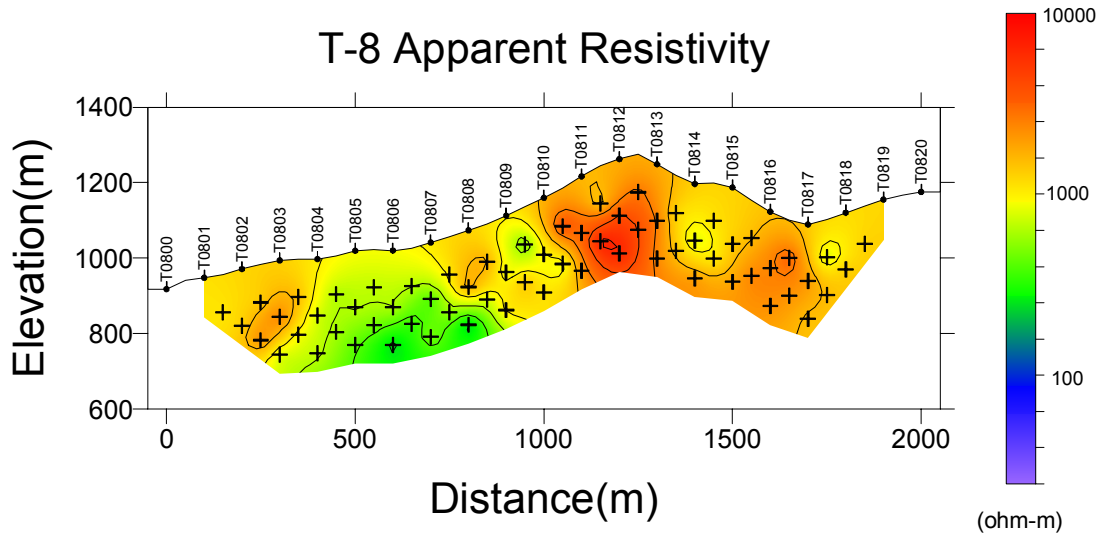


図 11-2-23(8) マイズ地区 B-7 異常帯見掛充電率擬似断面図(T-8)



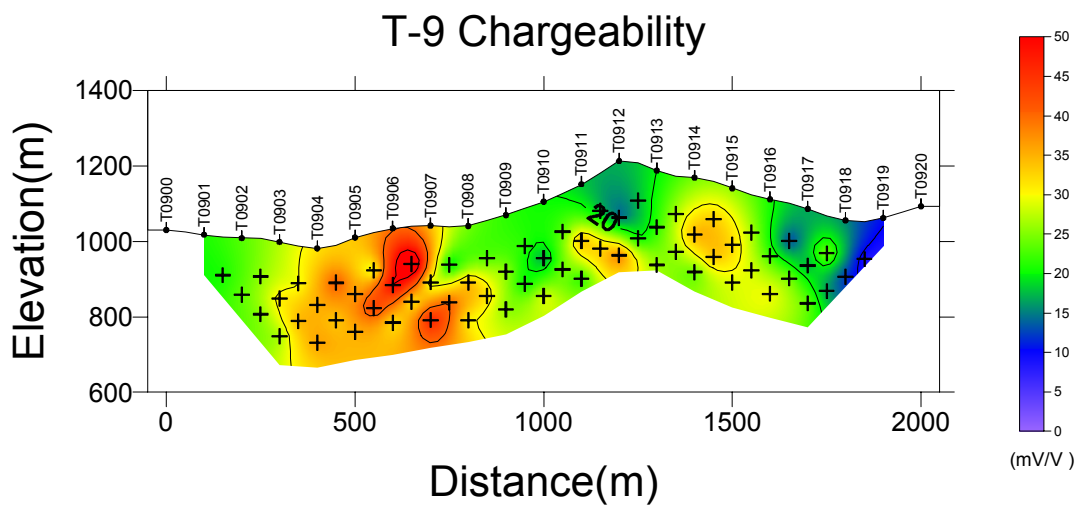
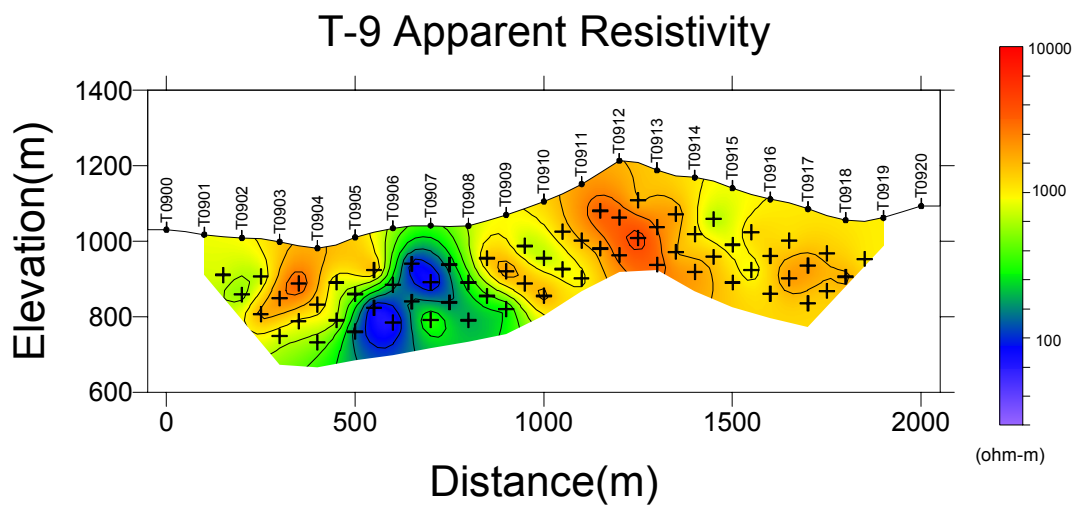


図 11-2-23(9) マイズ地区 B-7 異常帯見掛充電率擬似断面図(T-9)

B-7 Area : Level N1(-100m)  
Chargeability

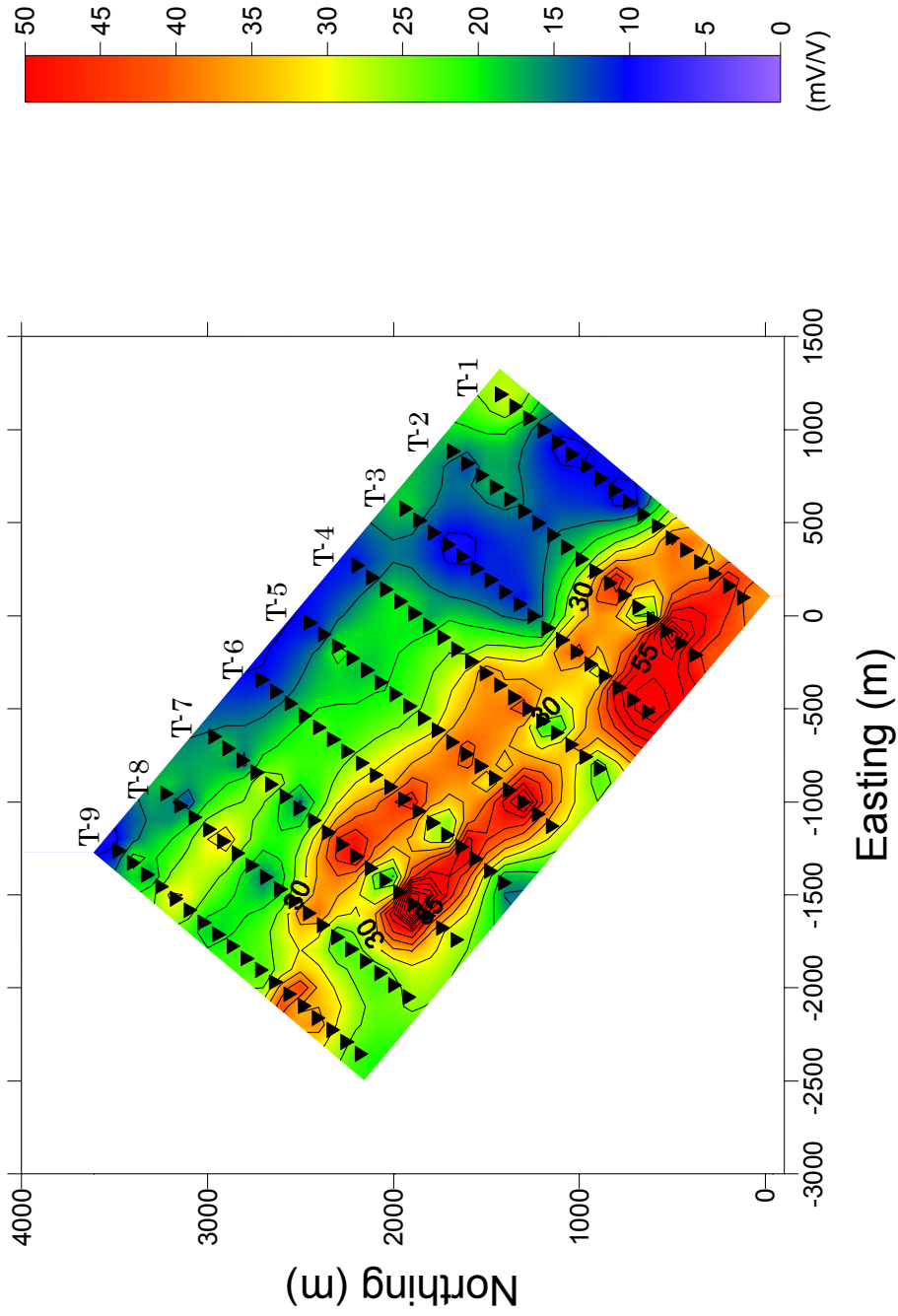
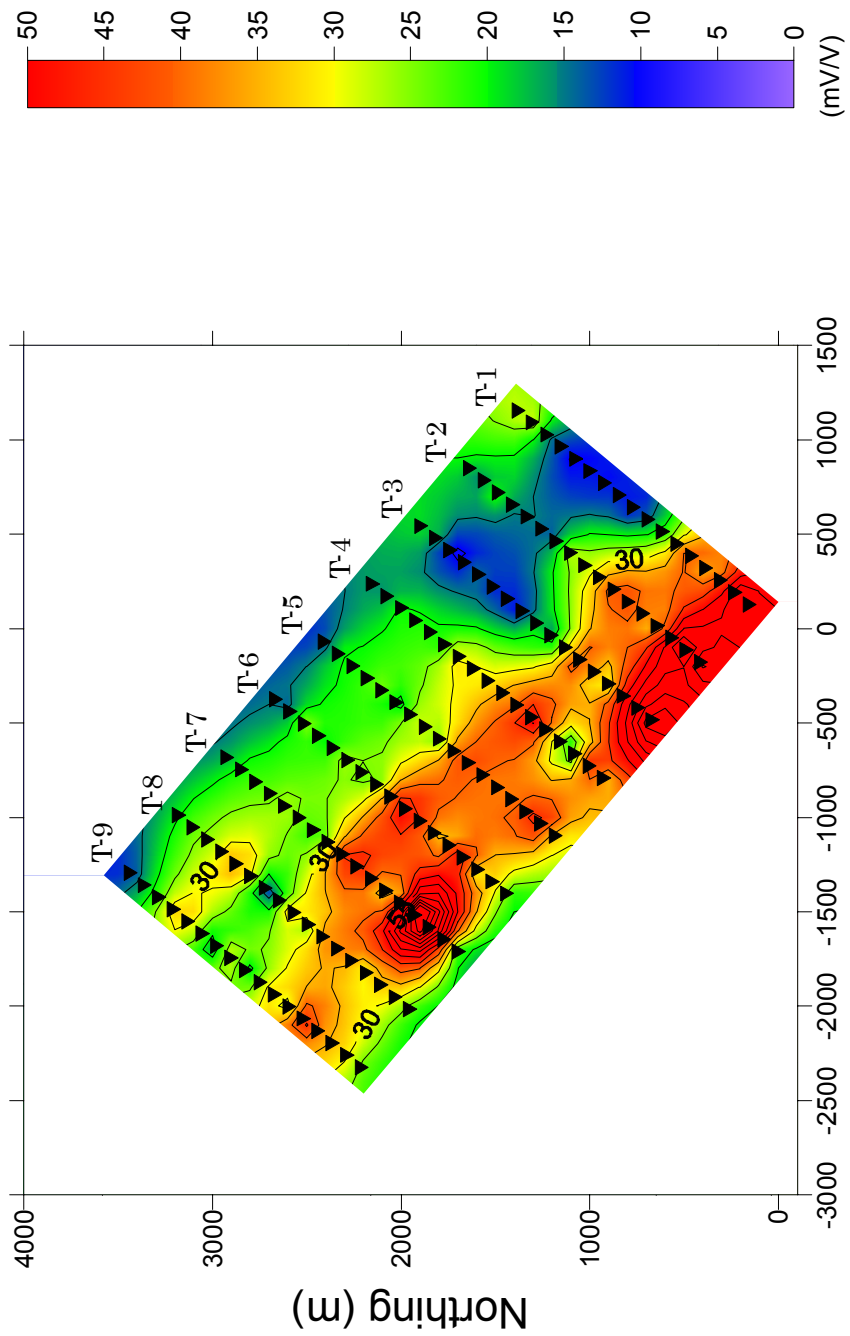


図 11-2-24(1) マイズ地区 B-7 異常帯見掛充電率平面図 (n=1)

B-7 Area : Level N2 (-150m)  
Chargeability



Easting (m)

図 11-2-24(2) マイズ地区 B-7 異常帯見掛充電率平面図 (n=2)

B-7 Area : Level N3 (-200m)  
Chargeability

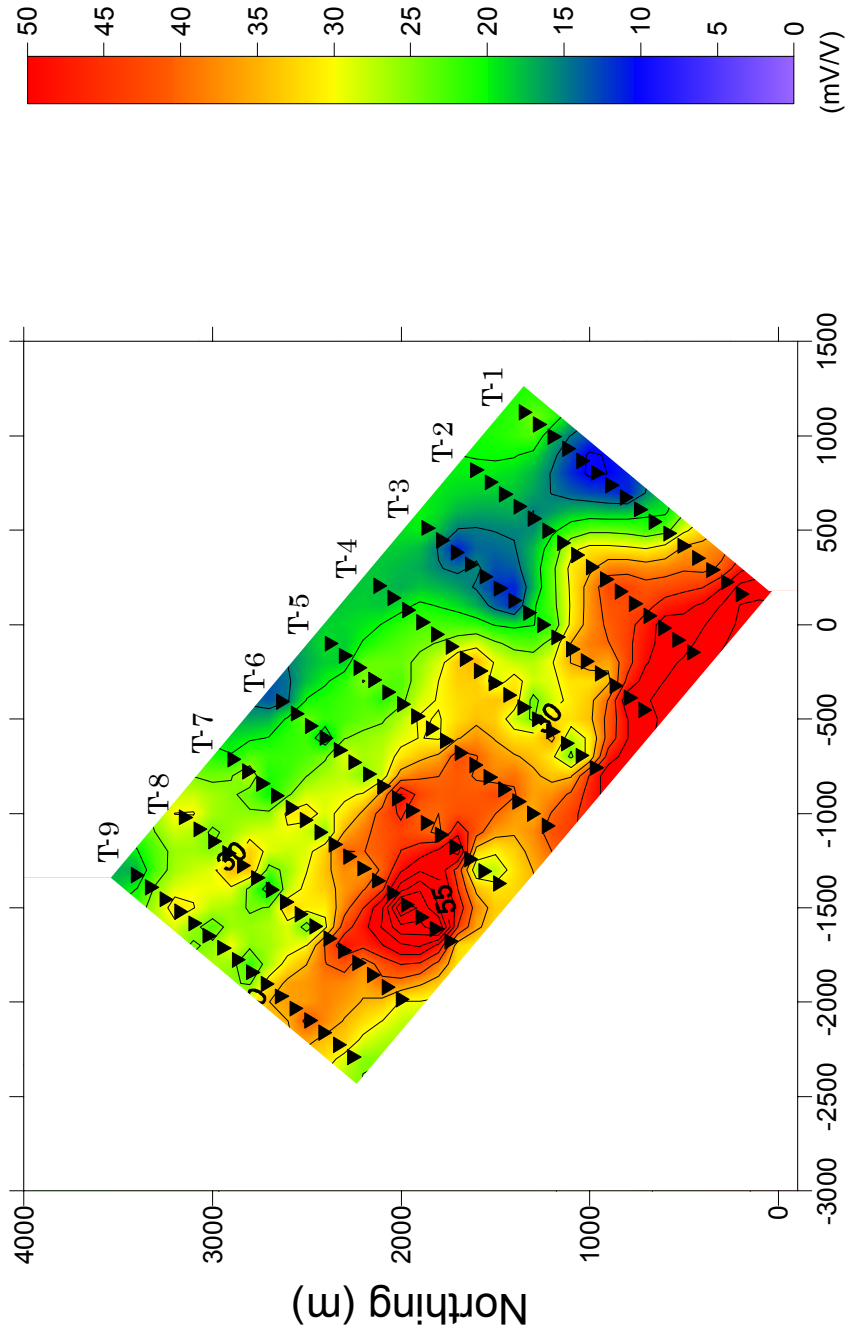


図 11-2-24 (3) マイズ地区 B-7 異常帯見掛充電率平面図 (n=3)

B-7 Area : Level N4 (-250m)  
Chargeability

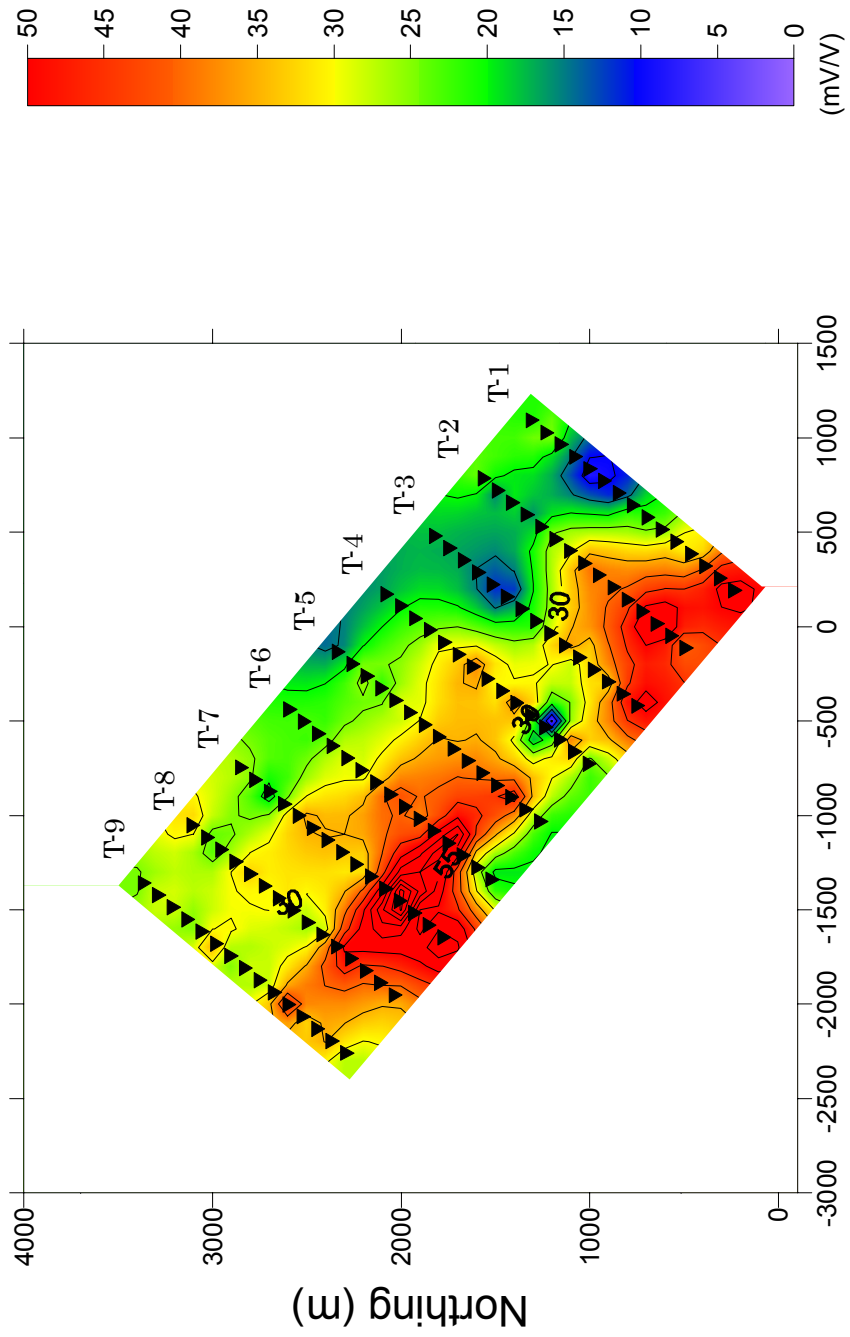


図 11-2-24(4) マイズ地区 B-7 異常帯見掛充電率平面図 (n=4)

B-7 Area : Level N1(-100m)  
Apparent Resistivity

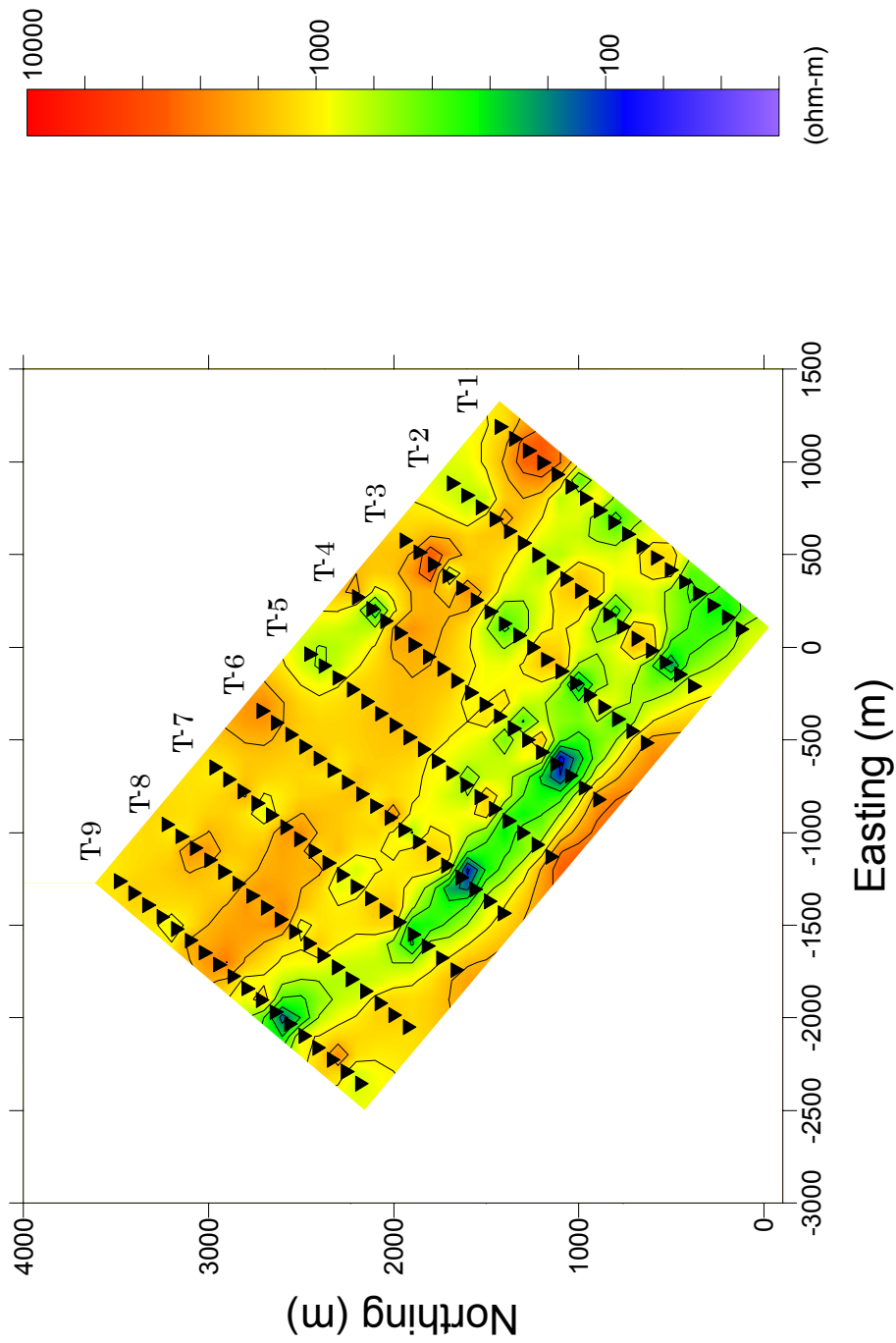


図 11-2-25(1) マイズ地区 B-7 異常帯見掛比抵抗平面図 (n=1)

B-7 Area : Level N2 (-150m)  
Apparent Resistivity

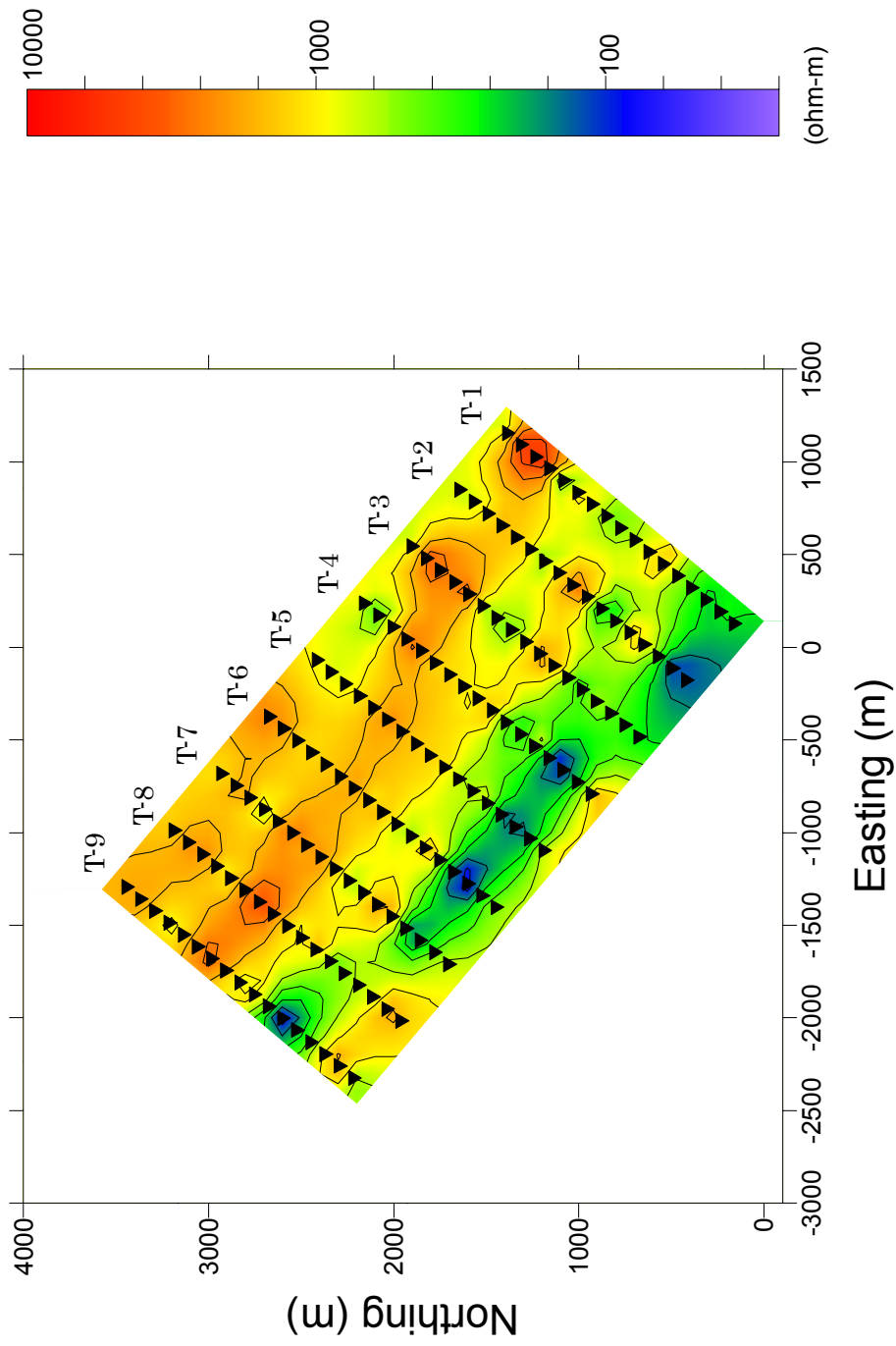


図 11-2-25(2) マイズ地区 B-7 異常帯見掛比抵抗平面図 (n=2)

B-7 Area : Level N3 (-200m)  
Apparent Resistivity

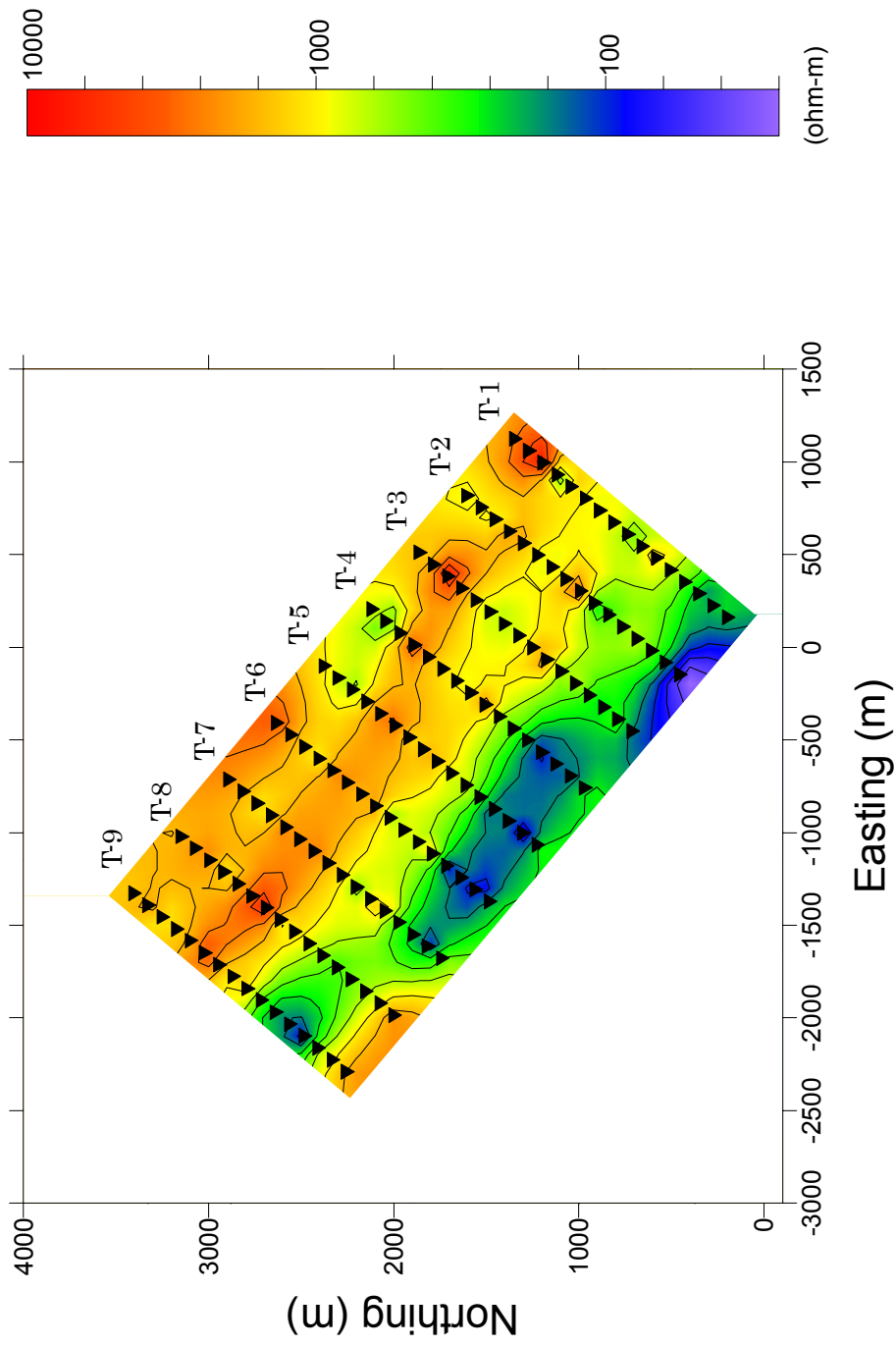


図 11-2-25(3) マイズ地区 B-7 異常帯見掛比抵抗平面図 (n=3)



B-7 Area : Level N4 (-250m)  
Apparent Resistivity

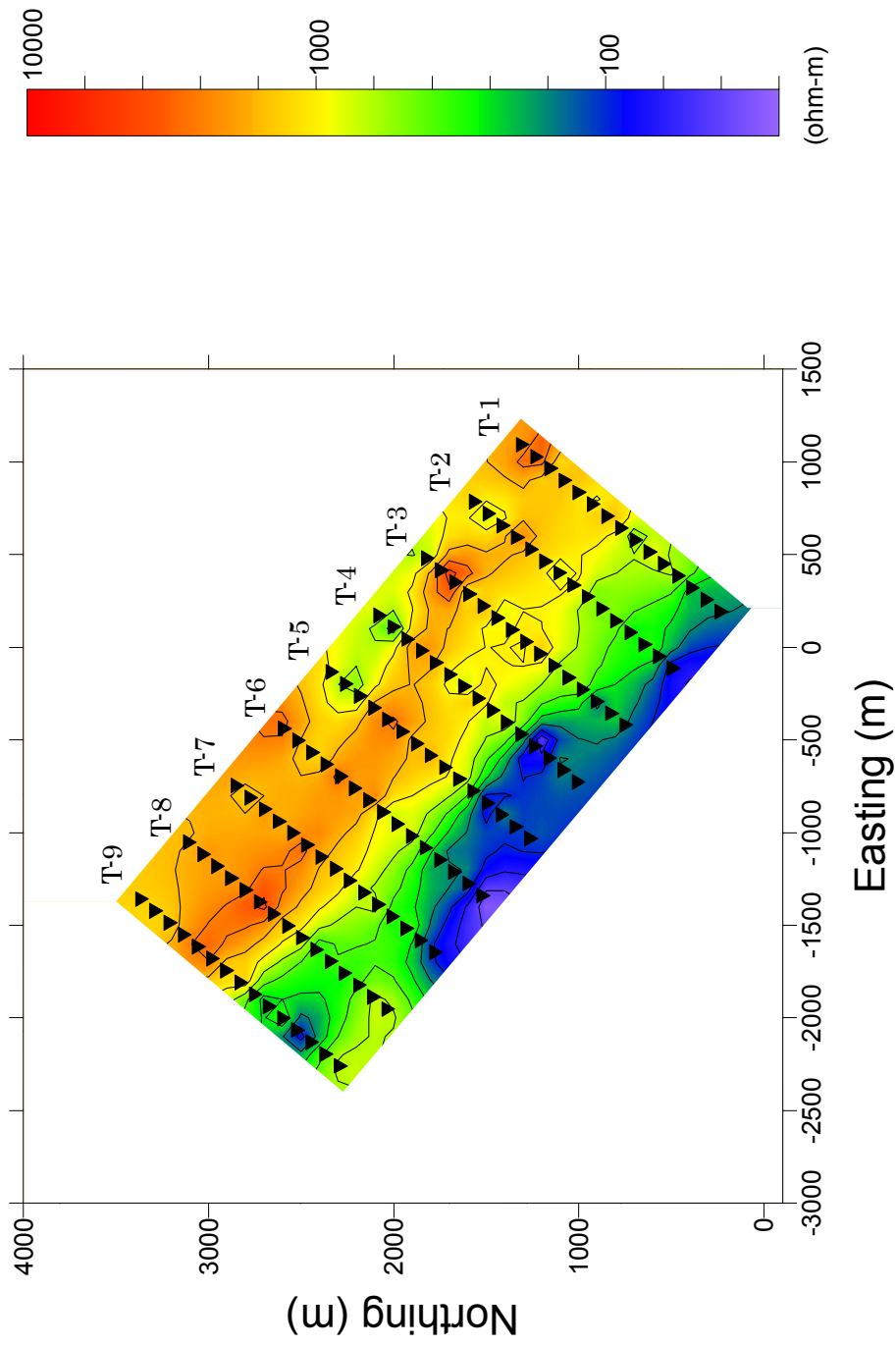
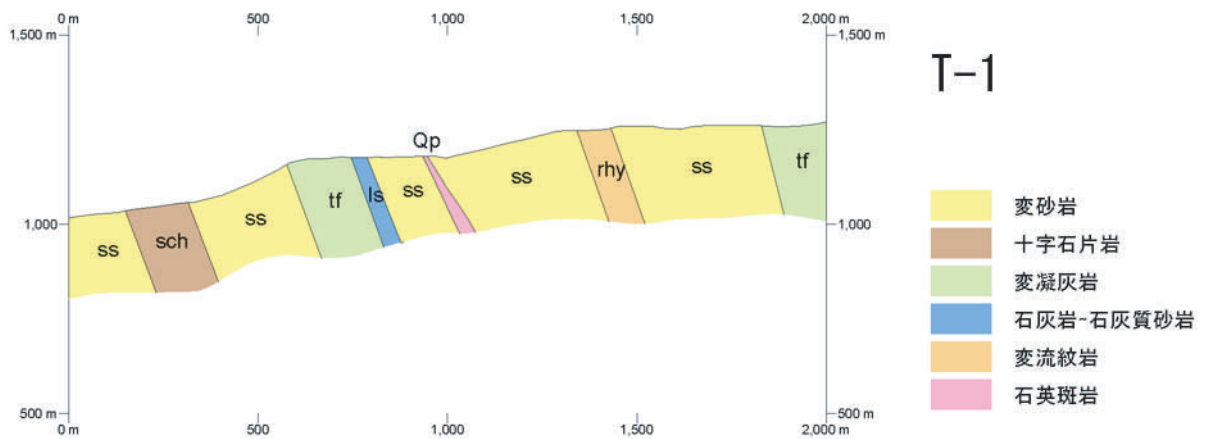
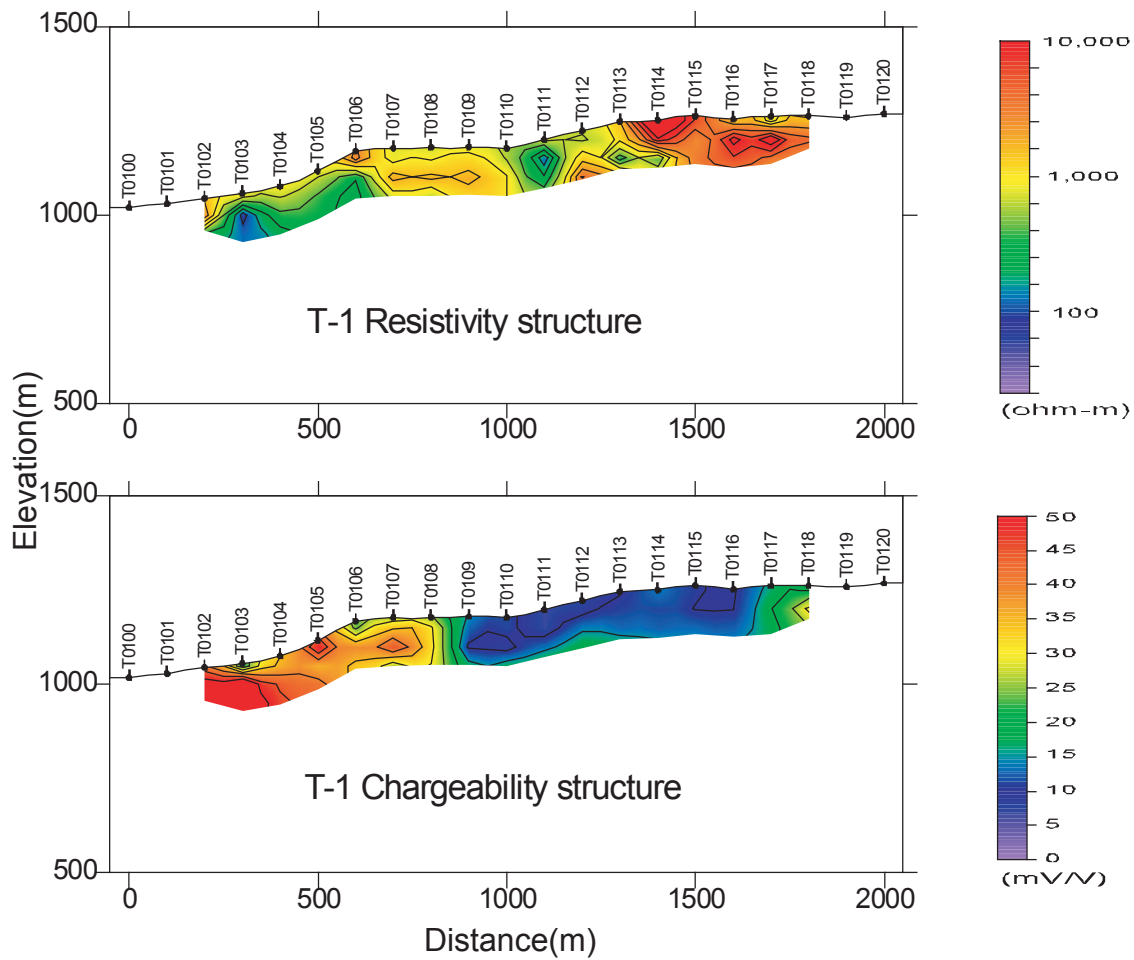


図 11-2-25(4) マイズ地区 B-7 異常帯見掛比抵抗平面図 (n=4)



図Ⅱ-2-26(1) マイズ地区B-7異常帯充電率・比抵抗インバージョン結果及び地質断面図 (T-1)

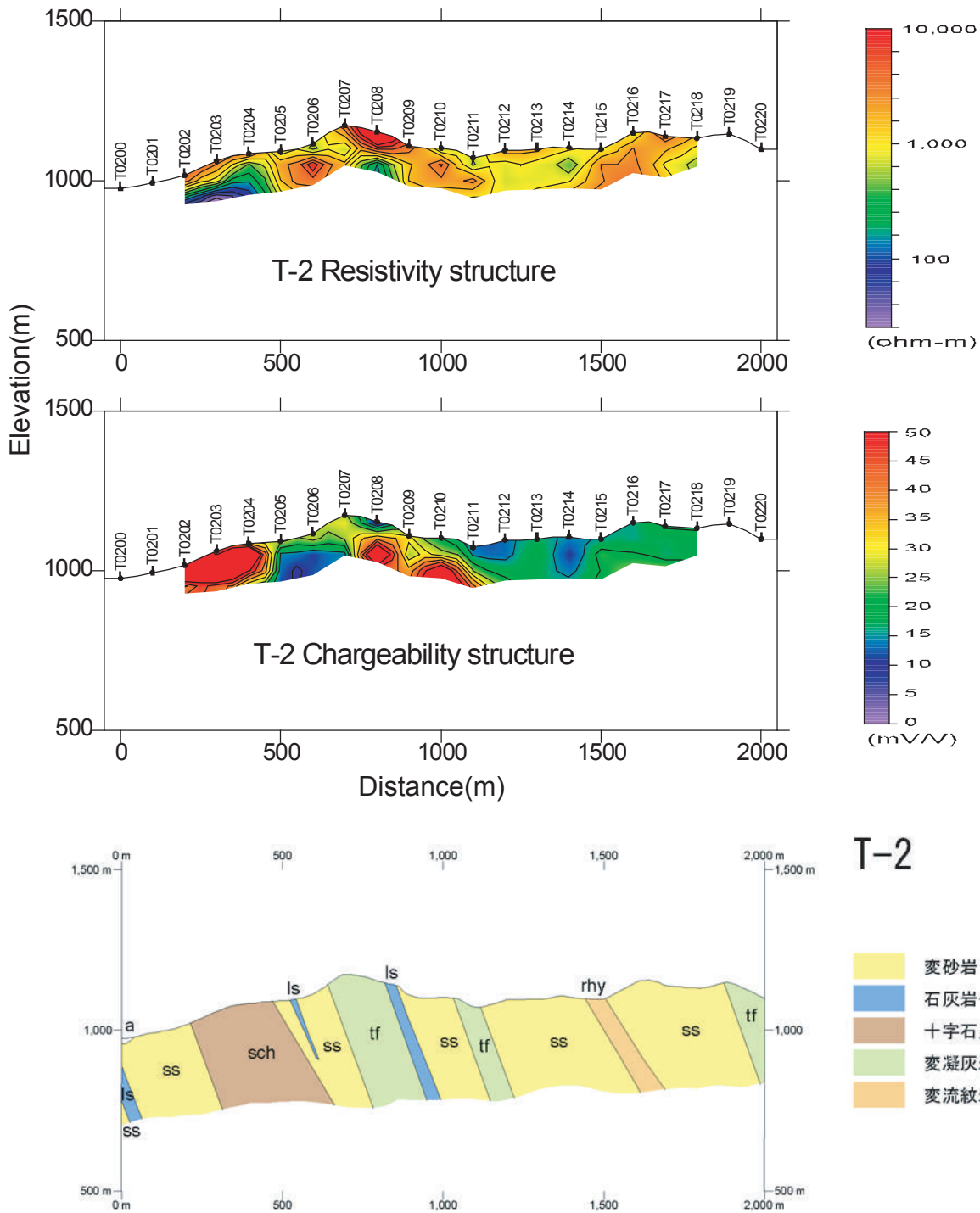


図 II-2-26 (2) マイズ地区B-7異常帯充電率・比抵抗インバージョン結果及び地質断面図 (T-2)

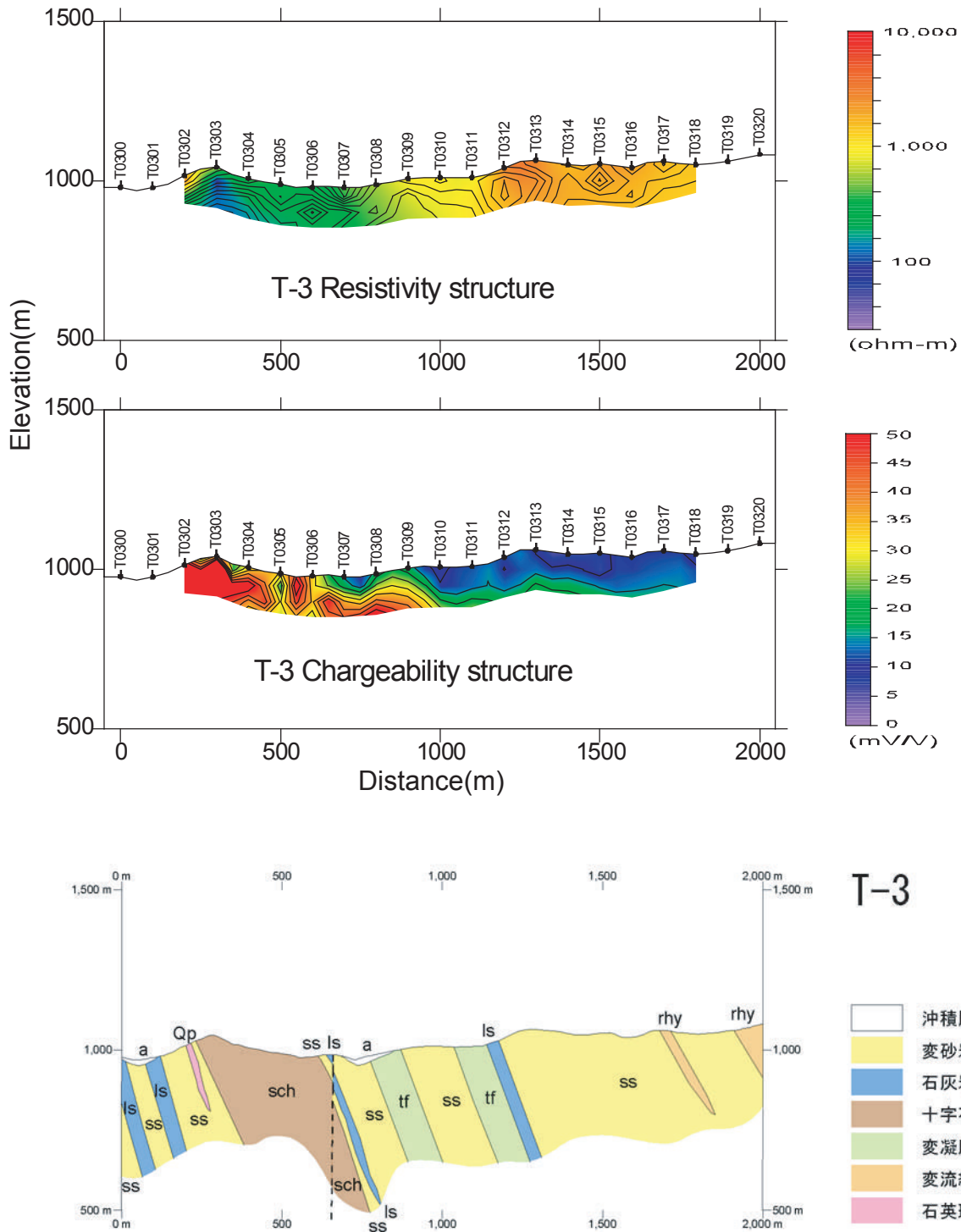


図 II-2-26 (3) マイズ地区B-7異常帯充電率・比抵抗インバージョン結果及び地質断面図 (T-3)

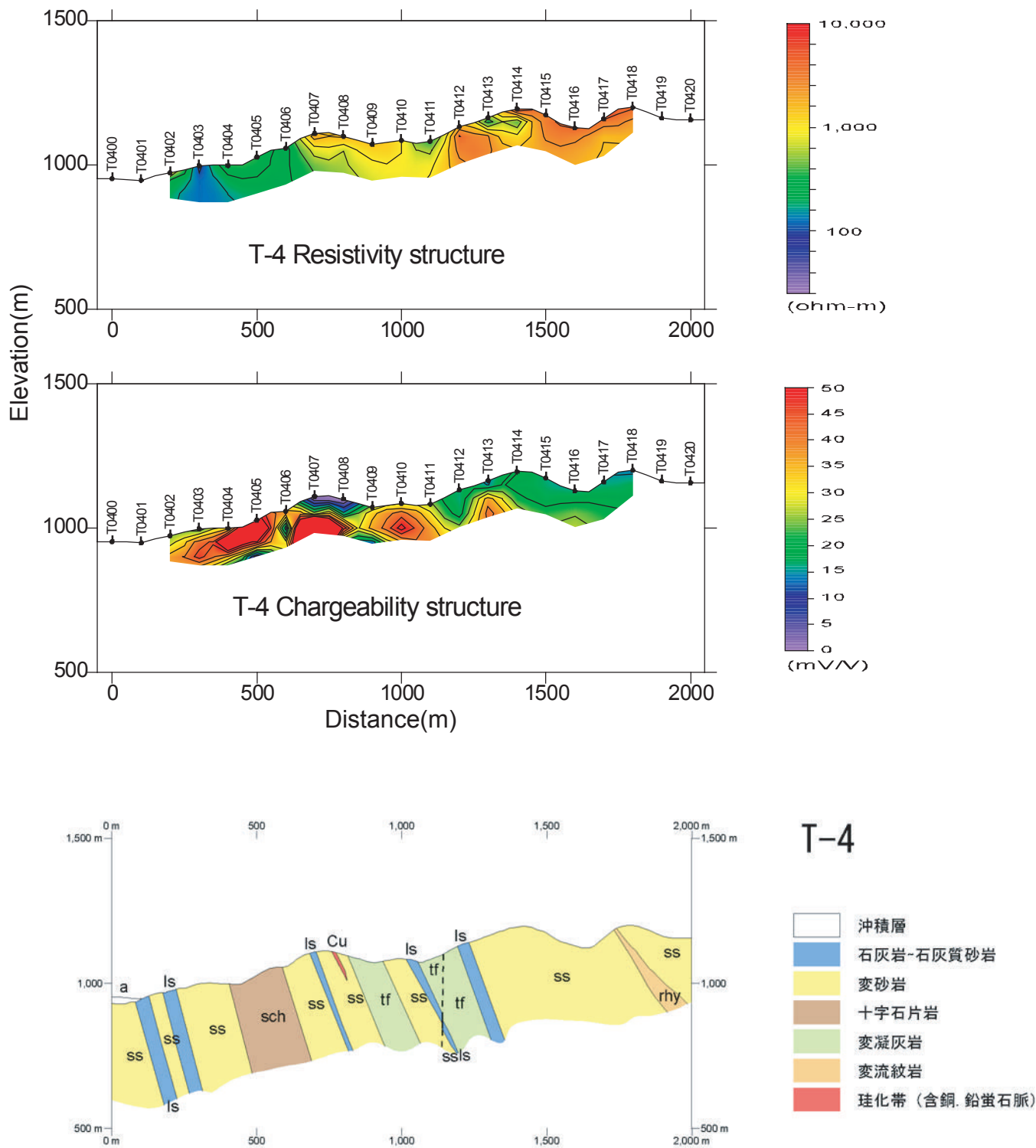


図 II-2-26 (4) マイズ地区B-7異常帯充電率・比抵抗インバージョン結果及び地質断面図 (T-4)

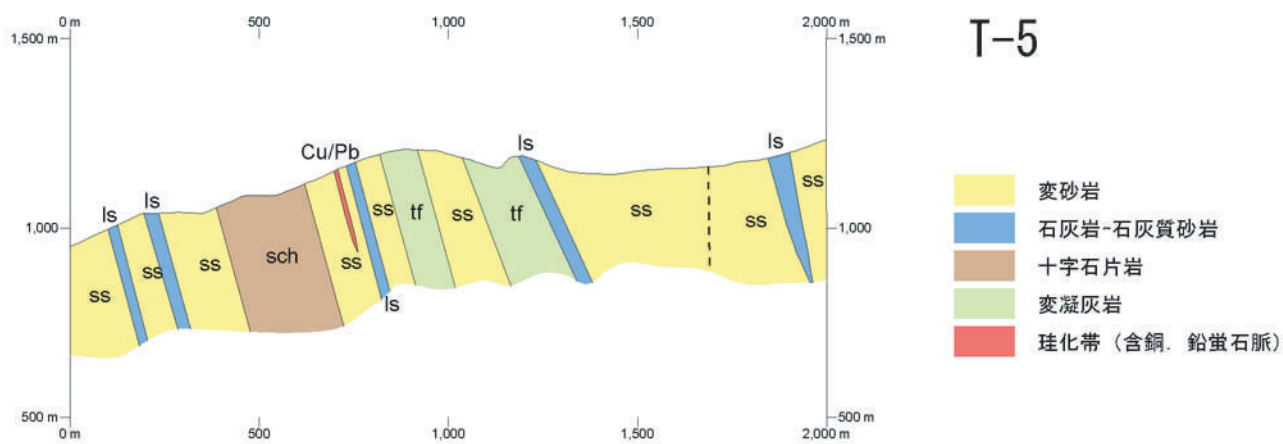
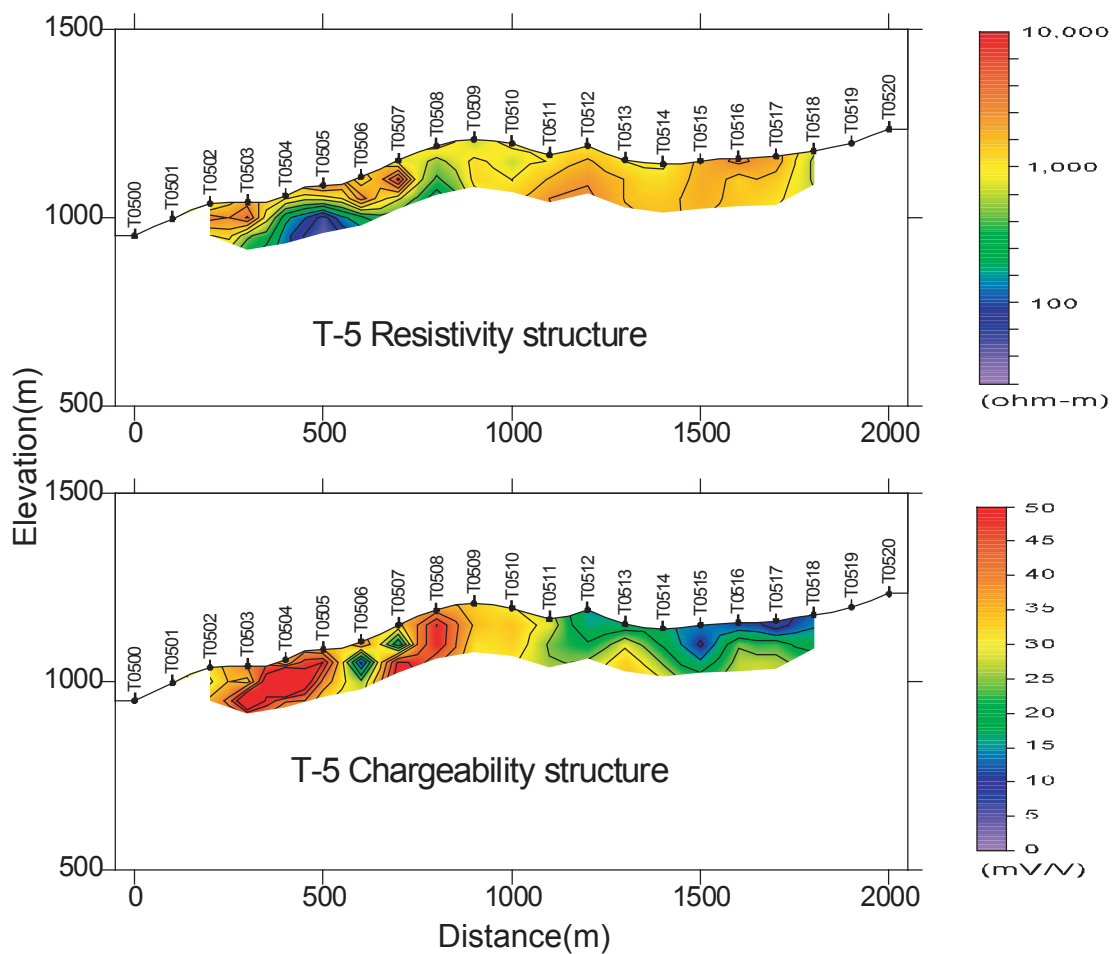


図 II-2-26 (5) マイズ地区B-7異常帯充電率・比抵抗インバージョン結果及び地質断面図 (T-5)

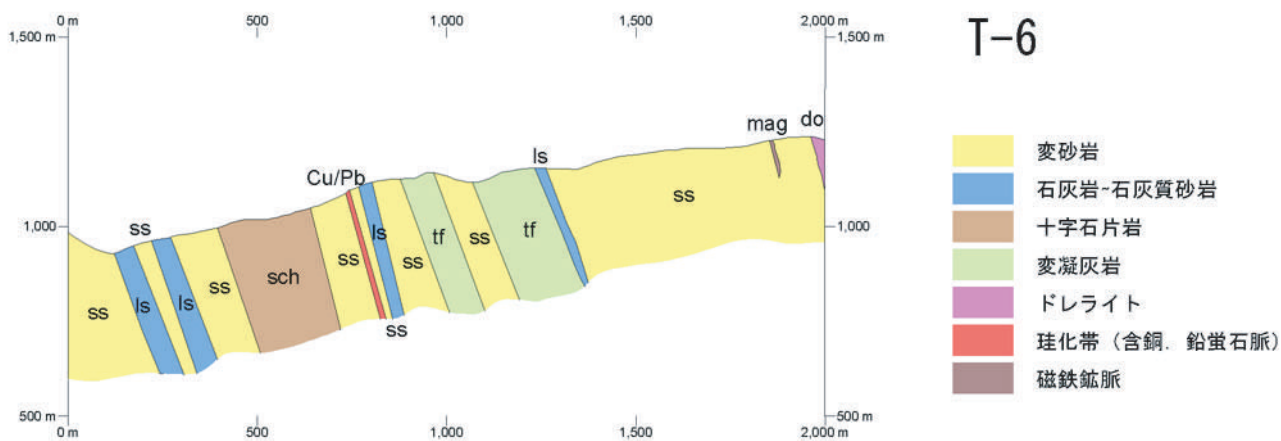
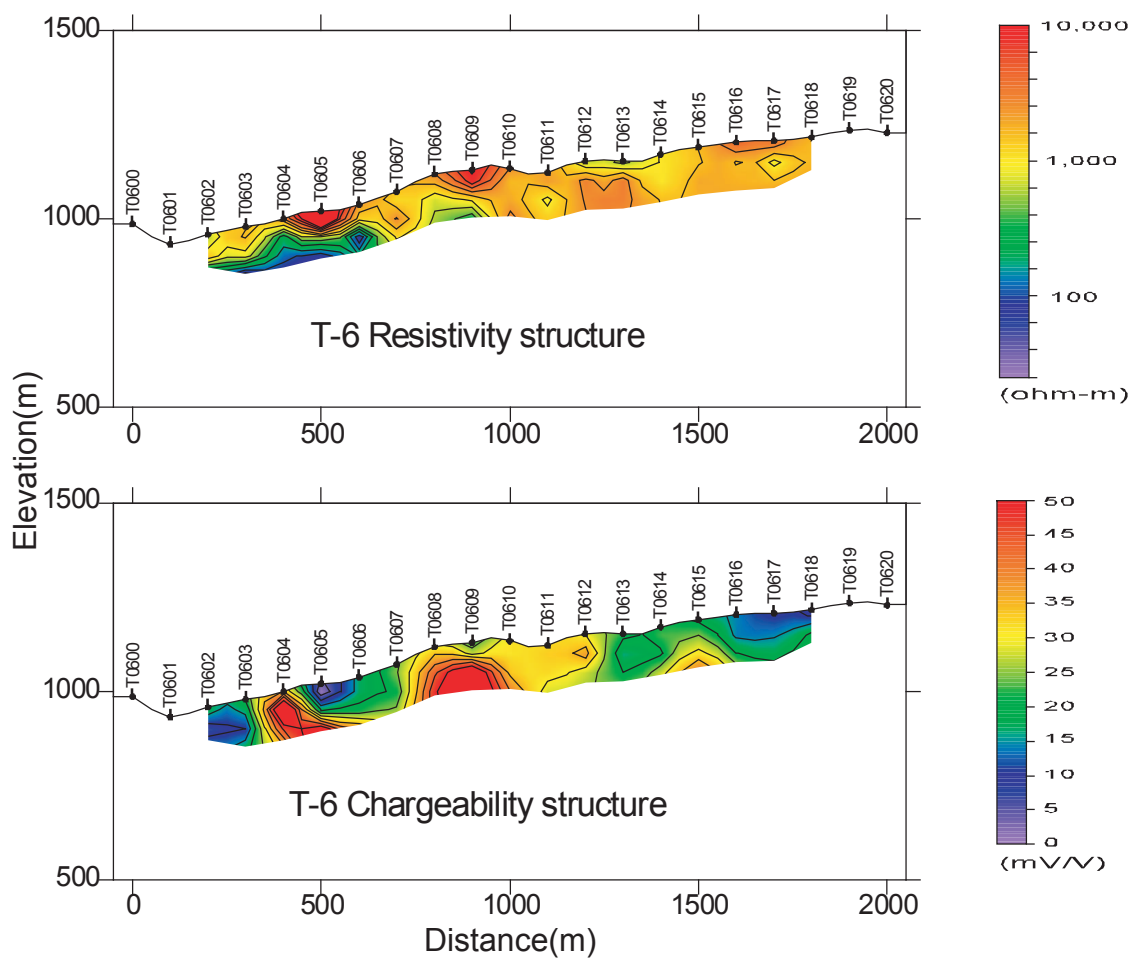


図 II-2-26 (6) マイズ地区B-7異常帯充電率・比抵抗インバージョン結果及び地質断面図 (T-6)

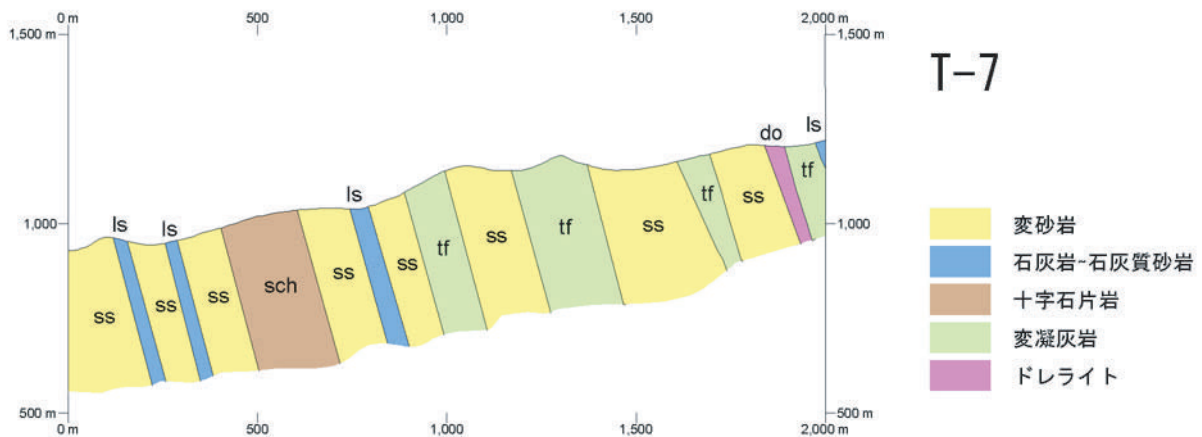
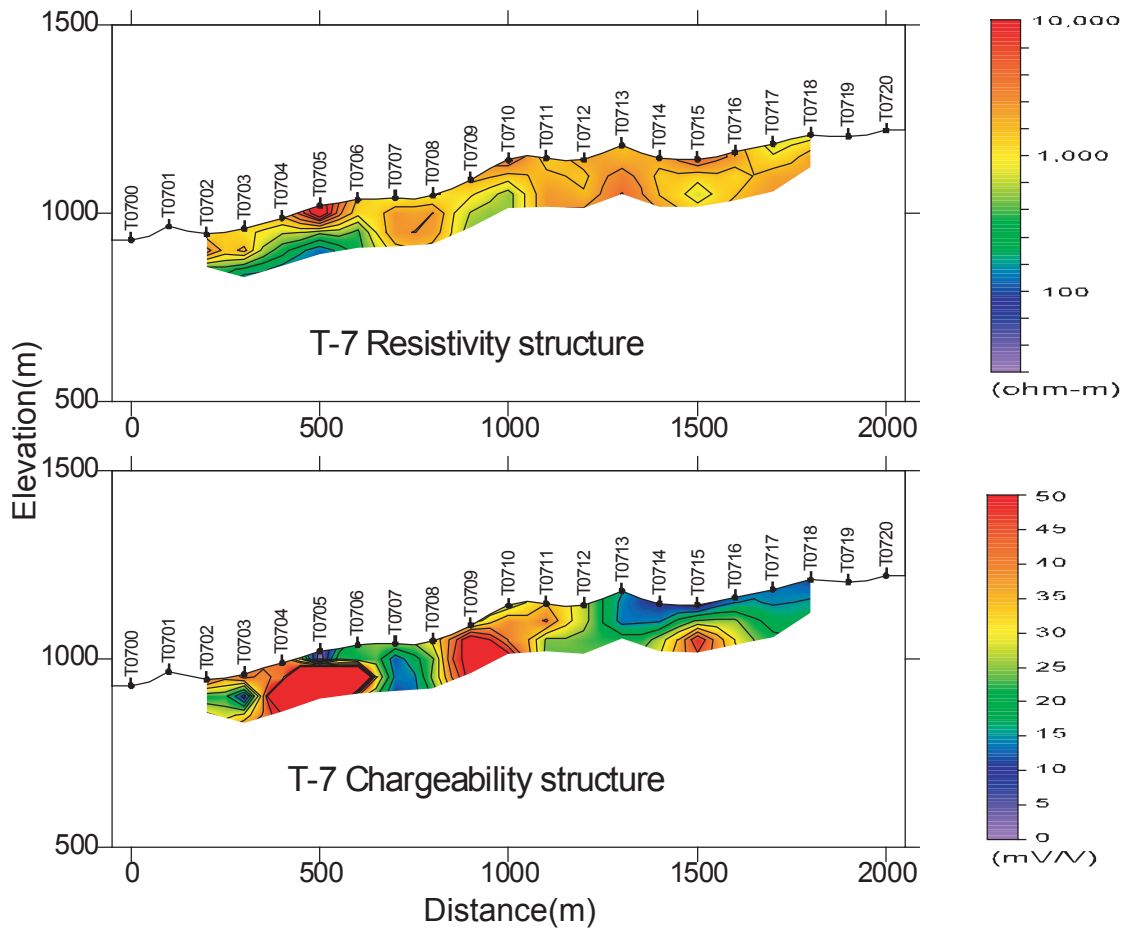


図 II-2-26(7) マイズ地区B-7異常帯充電率・比抵抗インバージョン結果及び地質断面図 (T-7)



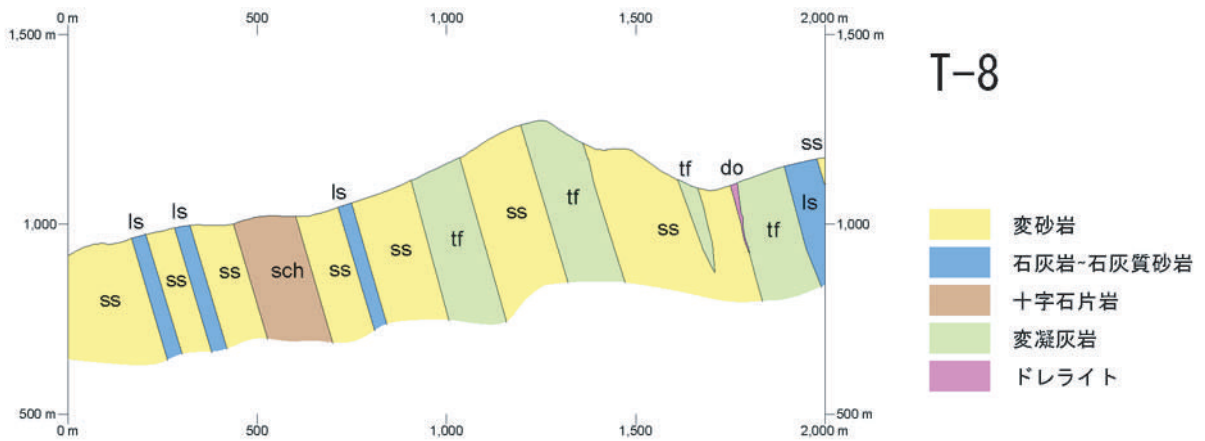
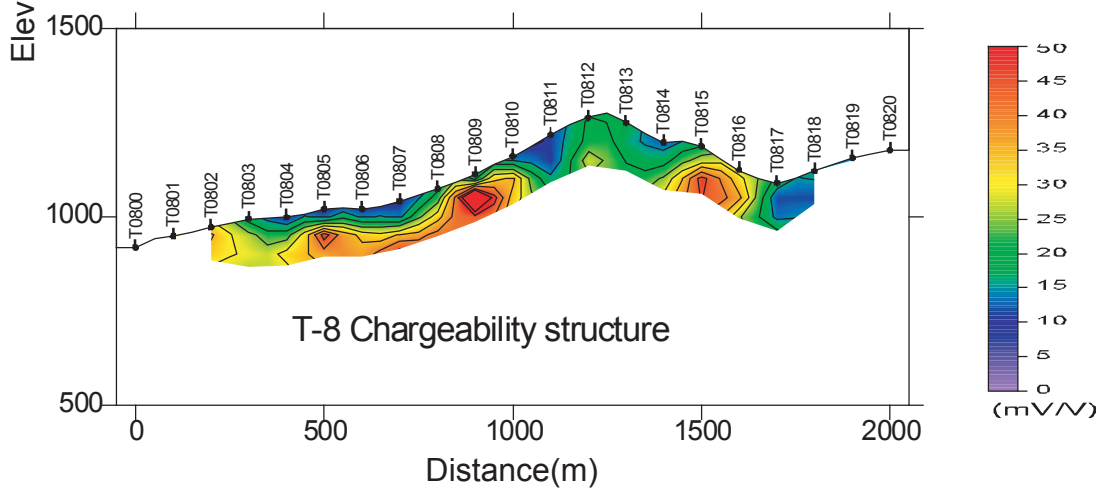
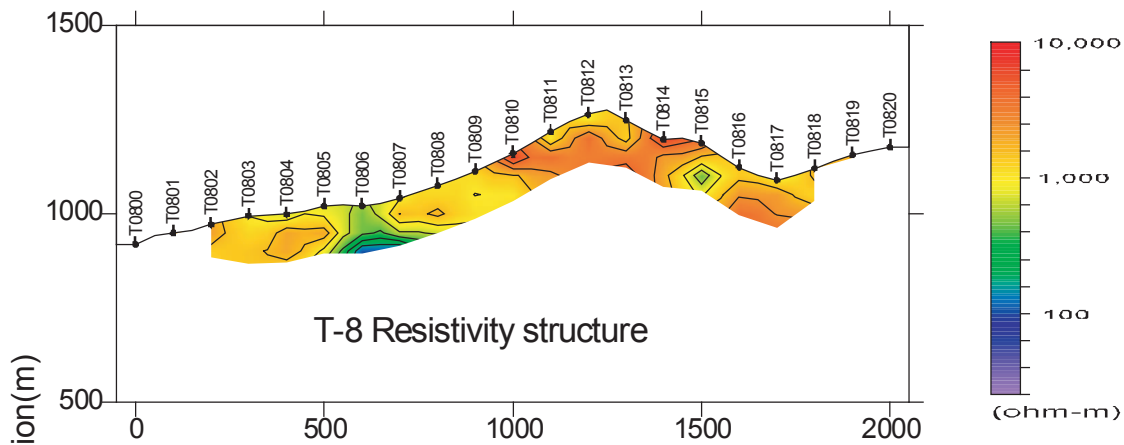


図 II-2-26 (8) マイズ地区B-7異常帯充電率・比抵抗インバージョン結果及び地質断面図 (T-8)

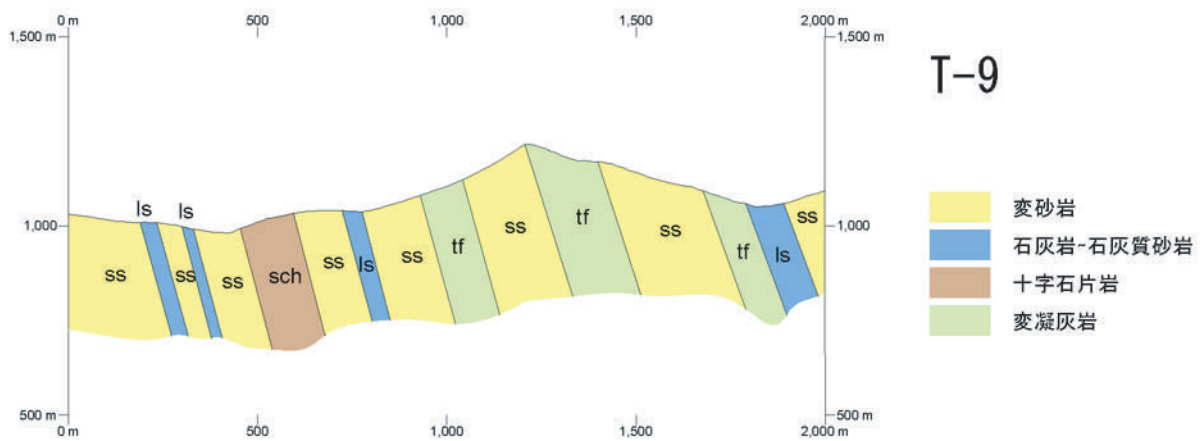
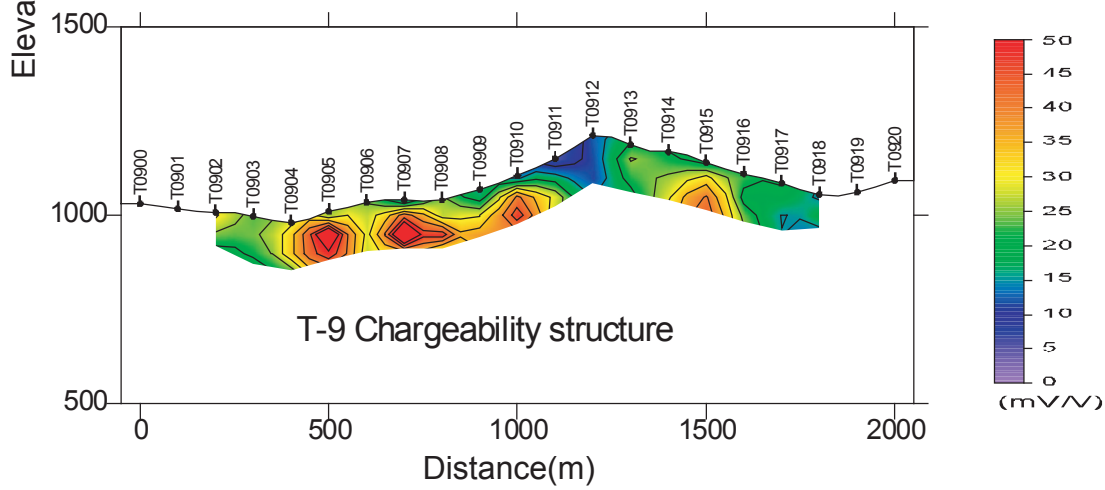
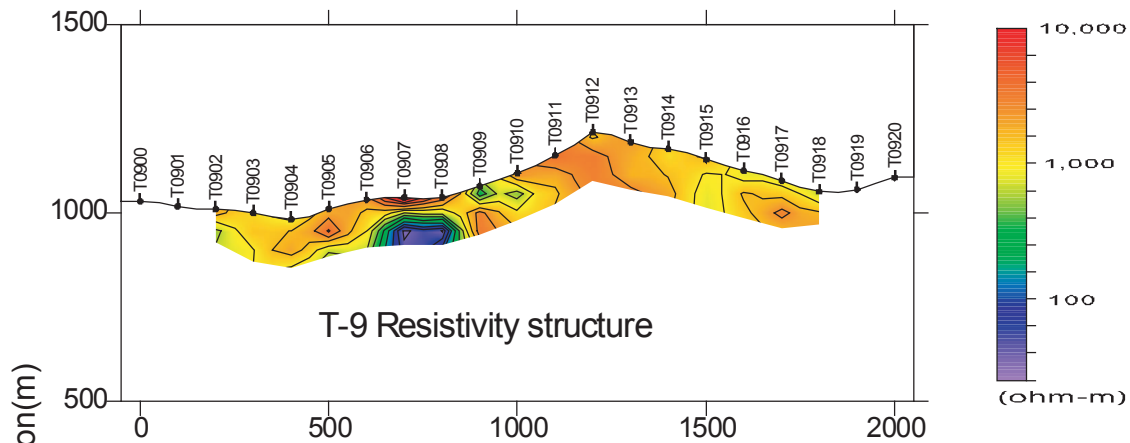
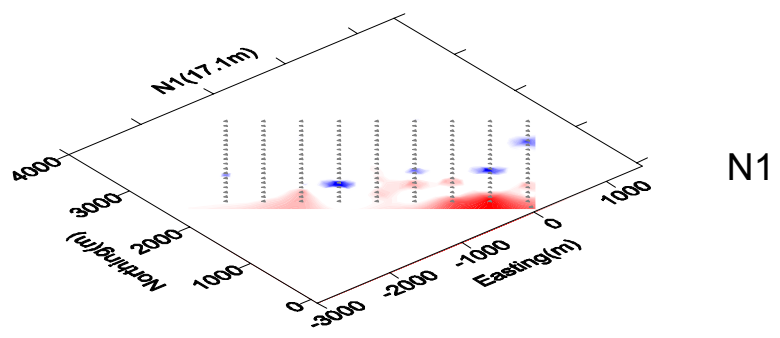
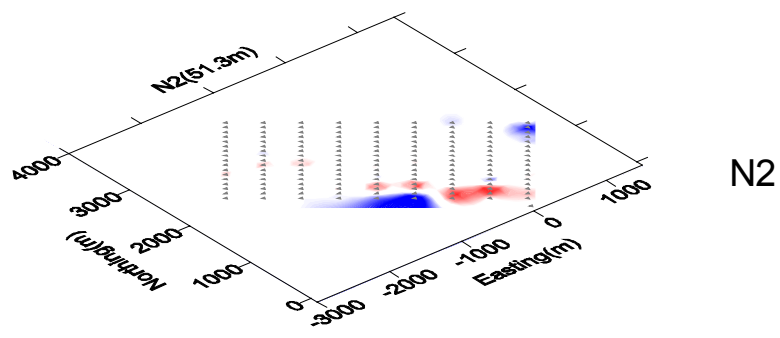


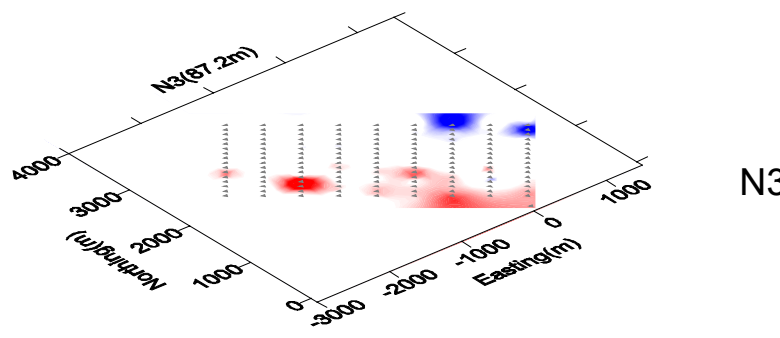
図 II -2-26 (9) マイズ地区B-7異常帯充電率・比抵抗インバージョン結果及び地質断面図 (T-9)



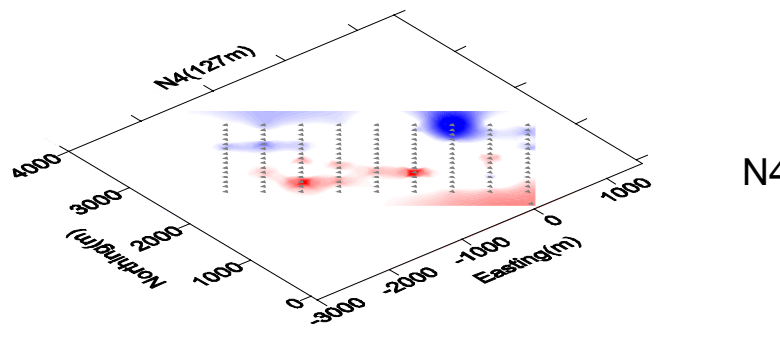
N1



N2



N3



N4

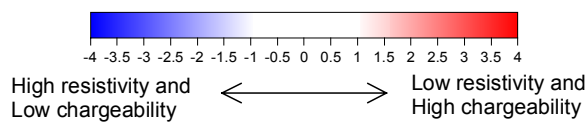


図 11-2-27      マイズ地区 B-7 異常帯充電率異常・推定比抵抗構造図

表 II-2-1 使用機器一覧

機器名	仕 様	メーカー
送信機 <b>GGT-10</b>	<ul style="list-style-type: none"> <li>・出力 : 10kw (時間領域) 30kw (周波数領域)</li> <li>・最大電流 : 20A</li> <li>・最大電圧 : 1000V</li> <li>・測定時出力電流 : 2.0A~20A</li> <li>・重量 : 57kg</li> </ul>	アメリカ Zonge 社
発電機 <b>ZMG-7.5</b>	<ul style="list-style-type: none"> <li>・重量 100kg</li> <li>・出力 7.5KVA 120/208V 三相、400HZ</li> </ul>	同 上
受信機 <b>GDP-16</b>	<ul style="list-style-type: none"> <li>・測定チャンネル : 8 CH</li> <li>・入力インピーダンス : 10M(DC)</li> <li>・ダイナミックレンジ : 150dB (16 ビット)</li> <li>・最小測定電圧 : <math>\pm 0.03 \mu V</math></li> <li>・最大入力電圧 : <math>\pm 32V</math></li> <li>・SP オフセット調整 : <math>\pm 2.5V</math></li> <li>・ゲイン : 1 から 4096 倍</li> <li>・アッテネータ : 8 : 1</li> <li>・Duty cycle : 50% または 100%</li> <li>・測定パラメーター : 振幅、位相差、減衰電位、自然電位</li> <li>・フィルター : アンチエイリアスフィルター ノッチフィルター (50、60Hz 用)</li> <li>・A/D 変換 : 16 ビット、32kHz サンプルング</li> <li>・重量 : 23kg</li> </ul>	同 上

表 11-2-2 測定データサンプル

2001/7/21	13:41:24	11.8v	D-D		
1TX	ID		30A-SP		100
1001LINE		1N	SPREAD		26
DiffAmp	Notch+60	3-50	3S/N		263
DiffAmp	Notch+60	3-50	3S/N		18
DiffAmp	Notch+60	3-50	3S/N		106
DiffAmp	Notch+60	3-50	3S/N		264
DiffAmp	Notch+60	3-50	3S/N		105
DiffAmp	Notch		603-50	3S/N	
DiffAmp	Notch+60	3-50	3S/N		31
DiffAmp	Notch+60	3-50	3S/N		195

アナログカード情報 (アンプ、フィルター)

2001/7/21	13:51:51	12.1v	D-D		
1Rx		3N	OUT		
Hz	8	Cyc	Tx	Curr	2.1
ON	1	1.1026	5.9	989.7000O	0.09
ON	2	98.360m	3.8	353.2003O	0.1
ON	3	113.65m	6.6	1020002O	0.19
ON	4	48.467m	10.2	870.1004O	0.26
1	2	3	4	5	6
265	262	297	331		
93	65	101	156		
71	47	79	122		
59	39	66	102		
50	31	53	84		
43	27	47	75		
38	23	43	65		
34	21	40	59		
30	18	34	52		
27	15	28	44		
25	14	27	43		
23	14	27	44		
21	14	29	47		

送信信号情報

N=1~4 までの測定データ (N、Vp (V)、M (%)、ρa (ohm-m)、標準誤差、SP (mV))

N=1~4 までの経過時間 (Time Window :13 ゲート) ごとの電位 (mV)

表II-2-3 室内物性試験結果

試料番号	岩石名	地区	比抵抗 ( $\Omega \cdot m$ )		充電率 (%)		異方性 (A/B)			
			A*注	B	平均	A	B	平均	比抵抗	充電率
1	A071901 schist	Hongling	3,493	662	2,077	13	8	11	5.3	1.6
2	A071902 skarn	Hongling	3,964	1,188	2,576	8	5	7	3.3	1.6
3	A073103 amphibolite	B-7	2,581	1,291	1,936	14	11	13	2.0	1.3
4	A080602 schist form shale	B-7	2,218	802	1,510	5	4	5	2.8	1.3
5	A080701 cp-py-pyr-sph-gal ore (Keketal depst.)	88-15	1.3	2.0	1.7	268	203	236	0.6	1.3
6	A080702 py-diss.sandstone (Keketal depst)	88-15	2,286	1,690	1,988	27	17	22	1.4	1.6
7	A080703 l-grn. csg. epi-gar-sk. cp-py-diss. (Keketal depst)	88-15	2,170	1,471	1,821	8	5	7	1.5	1.6
8	A080801 pyr-py-gal-sph-ore. (Keketal depst)	88-15	2.5	2.2	2.4	386	346	366	1.1	1.1
9	A080802 skarn(Keketal depst)	88-15	4,275	3,342	3,808	69	72	71	1.3	1.0
10	A080803 wht. csg. recryst. ls. gal-diss-small.	88-15	2,424	370	1,397	2	1	2	6.6	2.0
11	A080804 l-grv. mdg. m-rhy-tf.	88-15	2,539	1,727	2,133	8	7	8	1.5	1.1
12	A080807 schist from rhyolite	88-15	2,314	1,575	1,945	14	8	11	1.5	1.8
13	Y080601 rhyolite	B-7	2,263	1,217	1,740	11	6	9	1.9	1.8
14	Y080602 schist from rhyolite	B-7	3,486	1,731	2,609	13	7	10	2.0	2.0
15	Y080603 schist from rhyolite tuff	B-7	9,889	3,514	6,702	9	3	6	2.8	2.6
16	Y080604 schist	B-7	1,302	720	1,011	4	3	4	1.8	1.3
17	Y080605 amphibolite	B-7	1,906	1,029	1,467	6	4	5	1.9	1.5
18	Y080606 sandstone	B-7	1,203	789	996	7	6	7	1.5	1.2
19	Y080607 siliceous marble	B-7	1,193	511	852	4	4	4	2.3	1.0
20	Y080701 l-grv. mdg. mus. m.-ss.-tf.	88-15	2,966	1,030	1,998	14	10	12	2.9	1.4
21	Y080702 schist from rhyolite	88-15	3,842	2,588	3,215	4	3	4	1.5	1.6
22	Y080703 sandstone	88-15	4,807	2,085	3,446	13	11	12	2.3	1.2
23	Y080704 schist form shale	88-15	5,469	2,323	3,896	6	4	5	2.4	1.5
24	Y080801 schist	88-15	3,026	1,100	2,063	13	11	12	2.8	1.2
25	Y080805 Qz-Hm vein	88-15	9,402	2,228	5,815	188	187	188	4.2	1.0
26	Y090301 schist from rhyolite	Hongling	962	619	790	1	1	1	1.6	1.0
27	Y090601 schist from sandstone	Hongling	2,333	1,421	1,877	6	6	6	1.6	1.0
28	Y090602 Bt-Ms marble	Hongling	2,645	1,361	2,003	12	7	9	1.9	1.6
29	Y090603 schist from rhyolite tuff	Hongling	3,612	1,718	2,665	4	2	3	2.1	2.0
31	T082801 wht. massive sil-brec-rock	B-7	2,974	2,407	2,691	8	7	7	1.2	1.1
32	T082901 wht. massive sil-rock. w/Cu-imp.	B-7	4,045	3,670	3,857	8	7	8	1.1	1.1
33	T090601 schist	Hongling	985	468	726	4	3	3	2.1	1.3
34	T090602 limestone	Hongling	5,220	3,241	4,230	1	1	1	1.6	1.0
35	T090603 limestone	Hongling	8,788	5,134	6,961	5	4	4	1.7	1.1
36	T090604 rhyolite	Hongling	1,212	1,098	1,155	5	6	6	1.1	0.8

\*注:A方向は層構造と垂直する方向である。

表 II-2-4 アルタイ地区ホンリン・ウラスコ鉱徴地測定データの概要

測線名	見掛比抵抗値 ( $\Omega m$ )			分極率 (mV/V)		
	最大値	最小値	平均値	最大値	最小値	平均値
H-1	5757	58	836	43	4	17
H-2	6006	48	710	46	2	19
H-3	8763	84	593	45	4	20
H-4	3647	60	498	41	3	19
H-5	1916	20	437	47	2	18
H-6	2301	80	484	49	4	17
H-7	4557	37	517	49	3	18
H-8	4509	51	813	52	4	21
H-9	5772	55	889	37	4	17
H-10	6349	74	1001	40	3	14

表 II-2-5 マイズ地区 8 8 1 5 異常帯測定データの概要

測線名	見掛比抵抗値 ( $\Omega m$ )			分極率 (mV/V)		
	最大値	最小値	平均値	最大値	最小値	平均値
K-1	5674	205	1358	15	8	12
K-2	2572	340	1142	17	9	14
K-3	2555	238	1311	17	9	13
K-4	2365	555	1333	18	10	14
K-5	2624	17	432	67	5	24
K-6	4930	79	1022	32	10	21

表 II-2-6 マイズ地区 B-7 異常帯測定データの概要

測線名	見掛比抵抗値 ( $\Omega m$ )			分極率 (mV/V)		
	最大値	最小値	平均値	最大値	最小値	平均値
T-1	7686	169	791	52	6	25
T-2	2852	61	615	61	14	34
T-3	8180	132	777	54	8	26
T-4	2345	14	482	42	11	27
T-5	2776	40	578	50	14	31
T-6	3427	27	650	80	17	34
T-7	3815	77	821	96	15	40
T-8	6396	227	1057	52	22	34
T-9	3126	66	688	47	21	30